

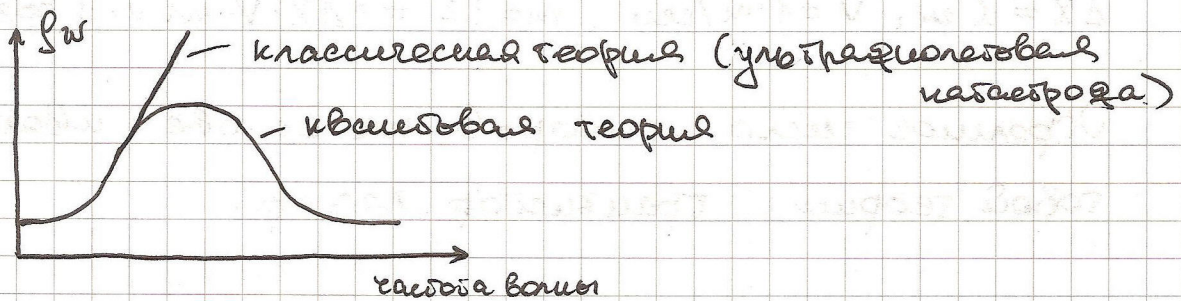
Еменевинов Владимир Ильин - профессор

Физика микроБольшого : атомы, молекулы, гелий-газы ;
законченный курс физики ;

Квантовая физика принципиально отличается от
классической, т.к. другие закономерности
квантовых объектов.

В начале прошлого века : появился метод
"модели гипотезами" (энергия, спадение
числа атомов, наличие дисперсивных спектров
линий) и классической теории.

Первый шаг : 1900-ые годы : Планк : $\epsilon = h\nu$
модель первичного теплового излучения ;



h - конст. Планка : $h = 10^{-37} \text{ эрг}\cdot\text{сек}$

[Эйнштейн + Гейзенберг + Бор + Деброиль...] \rightarrow
 \rightarrow исп. const Планка, построили новую кван-

тобчю теория.

Кристалл "квантовый" обмена (ограниченный
макрообъемом об обменом)



$$\text{имеет значение } P : P = m v$$

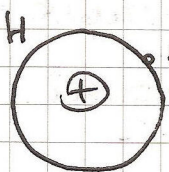
одн-рв понятие
записи

$$\Delta x \cdot P \equiv \text{действие}$$

Если действие оно, то обмен является макрообъемом и описывается квантовой ме-
ханикой.

Если $\Delta x \cdot P \gg \hbar$, то "классический" обмен

ПРИМЕР!



$$v = 10^8 \frac{\text{см}}{\text{сек}} - \text{период не} \\ m = 10^{-27} \text{ кг} \quad \text{принят} \\ 12 \pi k = 10^7 \text{ эрг}$$

$$\text{P.о. } \Delta x \cdot v \cdot m \approx 10^{-27} \text{ эрг. сек } \approx \hbar$$

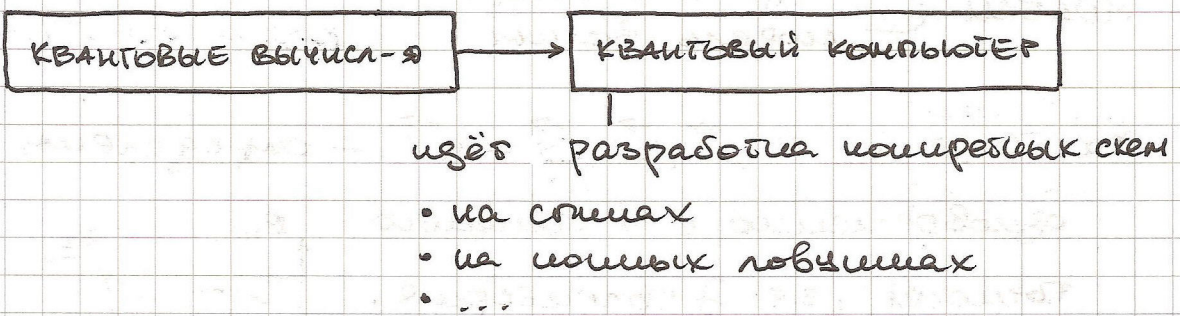
$$\Delta x = 3 \text{ см}, v = 1 \text{ см/сек}, m = 12 \Rightarrow \Delta x \cdot v \cdot m \approx 1 \text{ эрг. сек}$$

Ограничение течения приборов на основе кван-
товой теории: транзистор, лазер.

Применение квантовой механики в кв. техн.

[В наше изображение квантовой меха-
ники дела обстоит плохо.]

- Квантовый шифролазер \equiv квантовое вычисление (алгоритм для квантового компьютера).
- Квантовая приглушенность + неподражание информации по квантовому каналу.
- Квантовые генераторы



1900 г. — зарождение квантовой механики

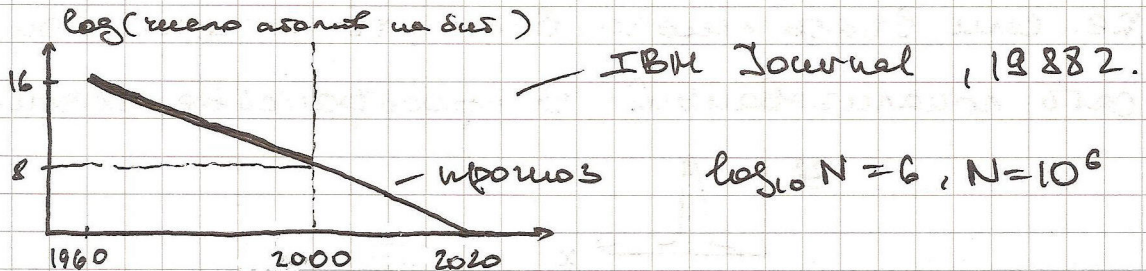
1920—1930 гг. — квантовое развитие

1940 г. — теория механики в теории твёрдого тела (популяризация).

1960 г. — лазер

2000 г. — квантовый шифролазер

? — квантовый компьютер.



рад: 10^{-5} см
 атом: $\boxed{\square} 10^{-7} \text{ см} \rightarrow \text{объем: } \begin{cases} 10^{-15} \text{ см}^3 \\ 10^{-21} \text{ см}^3 \end{cases} \Rightarrow \frac{10^{-15}}{10^{-21}} = 10^6 \text{ а.}$

2000-2020 - зміни між собою не відбуваються, т.к.

до 1980 року була класическа модель, а з 1980 року починає приближуватися до 1 ар.
 а 1 квантовий об'єкт (атом) - це

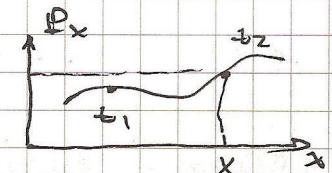
МОДЕЛІ
 модель частинки
 модель волни

частинка: $m, \vec{J}, \vec{\Sigma}, \vec{p} = m\vec{v}$ - определеність

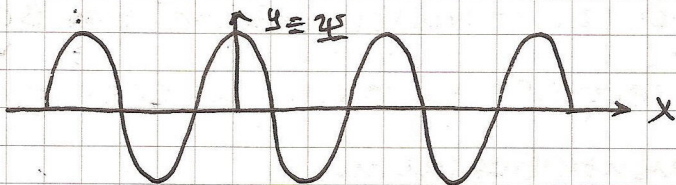
одновренично з \hbar співвідно

тимчасом, т.е. з гравітацією,

частинка ПОКАЗОВАНА



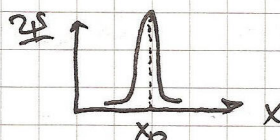
волна:



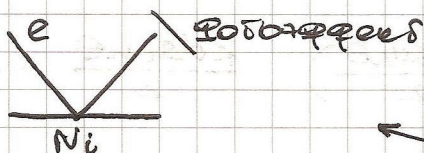
$$\Psi(x, t) = A_0 \sin(\omega t - kx), \quad \lambda = 2\pi/k$$

$$\Psi(x) = \frac{1}{2\pi} \int_{-\infty}^{+\infty} e^{ik(x-x_0)} du = \delta(x-x_0) \quad \begin{array}{l} \text{- функція } \delta=0 \\ \text{зареза} \end{array}$$

т.е. якщо взяти певну волу, то можна однією показувальню в просторі вибрати об'єкт?



Ось:



1) Рентгеновские лучи

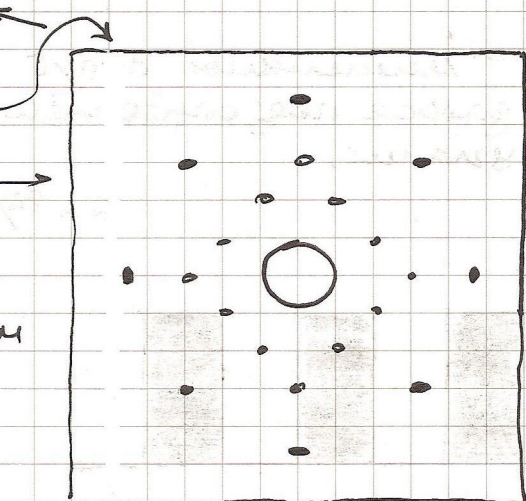
NaCl (дифракция, →
рассеяние) —

— пред. радиус: $\lambda \approx 10^{-8} \text{ см}$

С на 7000 квадратных

метров установлено

расстояние между атомами, симметрично, рассеяние.



2) Точно такие же картины дифракции наблю-

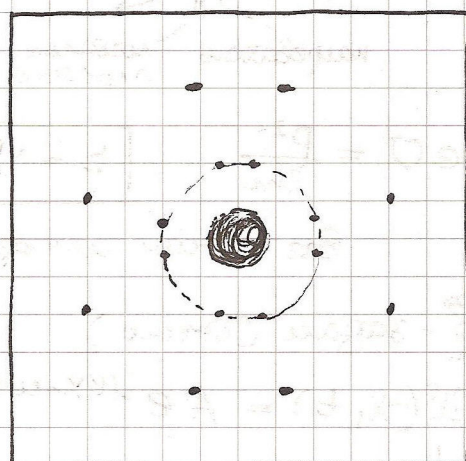
даются, если направить

на пластины рентгеновские

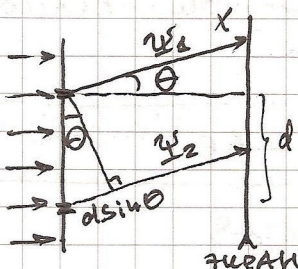
лучи

⇒ физические виды

себя есть волны!



Дифракция света:



$$\Psi_1 = A e^{ikx}$$

$$\Psi_2 = A e^{i(k(x+d))}, d = d \sin \theta$$

$$\Psi = \Psi_1 + \Psi_2 - \text{干涉 (света)}$$

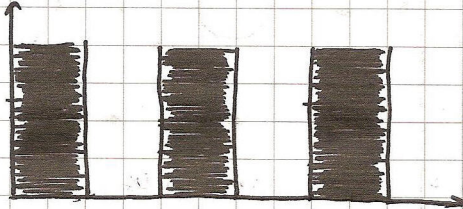
$$|\Psi|^2 = 4A^2 \cos^2 \left(\frac{kd \sin \theta}{2} \right) \quad \frac{kd \sin \theta}{2} = n\lambda, \quad n=0, \pm 1, \dots$$

→ нелинейное дифракционное изображение под определенными углами.

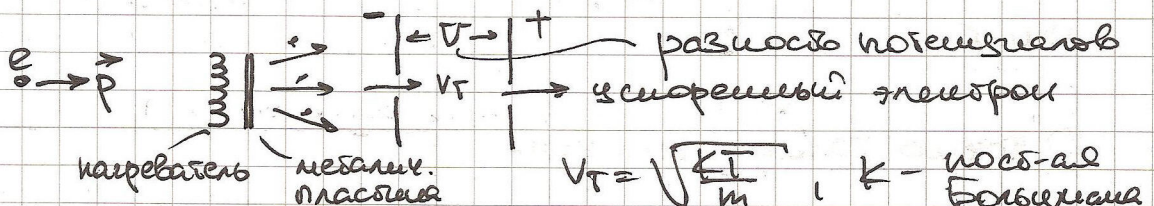
$$d \sin \theta_n = n\lambda$$

$$\lambda = 2\pi/k$$

Условие неллинейности Брегга



Линия Брэгга: предположение + формула:



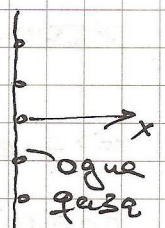
$$eU = \frac{P^2}{2m}, \quad P = \sqrt{2meU} \Rightarrow P_T = mV_T$$

Все эти же выражения в соотв. с величинами P .

\vec{p} - задача (Борго)

$$\Psi(x, t) = A e^{i(\vec{k}x - \omega t)} \quad - \text{волновая функция}$$

первое волновое уравнение в волнистой механике



$$P = \hbar k, \quad \frac{P^2}{2m} = \hbar \omega$$

- соединение линии Брэгга [корпускульно-волновой дуализм]

$$k = 2\pi/\lambda - \text{волн. числа}$$

$$\frac{\partial^2}{\partial x^2} - \text{квантизированное квадратичное}$$

$$\Psi(x, t) = A e^{i(\vec{k}x - \omega t)}$$

волновая функция

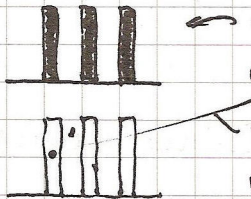
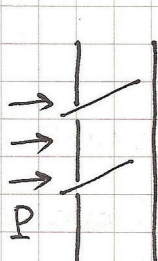
Рассмотрим случай:

$$|\Psi(x, t)|^2$$

$$|\Psi_p(k, t)|^2, \quad \Psi_p = A e^{i(\frac{p}{\hbar}x - \omega t)}$$

$$|\Psi_p(x, t)|^2 = |\Delta|^2 = \text{const} \quad - \text{const -е неопределенное значение}$$

Если значение P определено точкою, то координата неопределенности [статистическое значение интерполяции] — получает подтверждение экспериментально:



— это будет если из-за P ослабевать до одного элемента?

получаем один точку!
 $N \rightarrow \infty$

$$\text{Вер-тв нахождения: } \lim_{dNy \rightarrow \infty} w(y) dy = \frac{dNy}{N} = |\Psi|^2 dy,$$

т.е. точка превращается в единицу вероятности заполнения области высокой вероятности:



Тем не менее, элементы — не класс. точки, а все-таки частицы \rightarrow трудоёмкость интерпретации явления механики.

[Плотность вероятности \equiv производная от функции распределения].

14.02.07 - лекция № 2.

Причина суперпозиции. Состоиние неопределенности. Операторы физических величин. Уравнение Шредингера.

$$\vec{P}, \Psi_p(x) = C e^{i \frac{P}{\hbar} - i \omega t}, \quad \hbar \omega = \frac{p^2}{2m}$$

1-ый посыл: Квантовый объект с начальным положением определяется заданным волновым функцией.

принцип суперпозиции: Если первоначально объект находился в состоянии Ψ_1 и в состоянии Ψ_2 , то он может находиться в состоянии $\Psi(x) = C \Psi_1 + B \Psi_2$, $\int |\Psi|^2 dx = 1$.

В этом принципе вербает основного право в квантовом компьютере.

$$|\Psi_p(x)|^2 = \text{const} = (C)^2 - \text{качесвое соотношение неопределенности.}$$

Общее соотношение неопределенности

сформулируем волновой пакет:

$$k_0 + \frac{\Delta k}{2}$$

$$\Psi(x) = \sum_n C_n \Psi_n(x), \quad \Psi(x, t) = \frac{1}{\Delta k} \int_{k_0 - \frac{\Delta k}{2}}^{k_0 + \frac{\Delta k}{2}} A(\omega) e^{i(kx - \omega t)} dk$$

узкий волновой пакет, т.е. $\Delta k \ll k_0$.

$$\hbar \omega = \frac{p^2}{2m} \quad ; \quad \omega = \omega(k) = \omega(k_0) + \left(\frac{\partial \omega}{\partial k} \right)_{k_0} (k - k_0)$$

$$\xi = k - k_0, \quad A(\omega) \approx A(\omega_0) = A_0$$

$$\Psi(x, t) = \frac{A_0}{\Delta k} e^{i(k_0 x - \omega_0 t)}$$

$$\int_{-\frac{\Delta k}{2}}^{\frac{\Delta k}{2}} \exp [i\xi(x - (\frac{\partial \omega}{\partial k})_{k_0} t)] d\xi$$

$$\hbar \omega(k) = \frac{\hbar^2 k^2}{2m} = \frac{p^2}{2m} \quad ; \quad \left(\frac{\partial \omega}{\partial k} \right)_{k_0} = \frac{\hbar k_0}{m} = \frac{p_0}{m} = v_0$$

$$\Rightarrow \Psi(x, t) = A_0 \frac{\sin [\frac{\Delta k (x - v_0 t)}{2}]}{4k(x - v_0 t)}$$

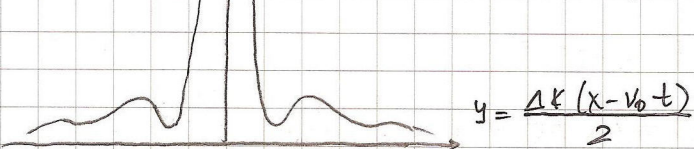
$$\text{Osozle. } y = \frac{\Delta k (x - v_0 t)}{2}$$

$$\Rightarrow \Psi(x, t) = A_0 \frac{\sin y}{y} e^{i(k_0 x - \omega_0 t)}$$

$$|\Psi(x, t)|^2 = A_0 \frac{\sin^2 y}{y^2}$$

$$y = \frac{\Delta k (x - v_0 t)}{2} = \text{const}$$

$$\frac{dx}{dt} = v_0 > 0$$



$$\text{Рассм. } \Delta y = \Delta \left(\frac{\Delta k (x - v_0 t)}{2} \right) = \frac{\Delta k \Delta x}{2} = \tilde{y} \quad ; \quad t = \text{const}$$

$$p = \hbar k \quad \Rightarrow \quad \boxed{\Delta p \Delta x = 2 \tilde{y} \hbar} \quad - \text{ неопределенность.}$$

Если $\Delta x \rightarrow 0$, то $\Delta p \rightarrow \infty$ (увеличение Δx)

Если $\Delta p \rightarrow 0$, т.е. p -запади, то $\Delta x \rightarrow \infty$ (снижение Δp при фиксированном Δx)

Из принципа неопределенности следует, что
действуют траектории.

Задача: Каждой физической величине
соответствует оператор, а зи-ю физ. величинам,
измеряемым в эксперименте, соответствует
специальное значение оператора:

$$A \rightarrow \hat{A} \quad , \quad A_{\text{изм.}} \rightarrow \langle \hat{A} \rangle$$

$$\Psi(x, t) : \vec{x} \rightarrow x$$

$$\langle x \rangle = \int |\Psi(x, t)|^2 x \, dx = \int \Psi^*(x, t) x \Psi(x, t) \, dx$$

$$f(\vec{r}) : \langle f \rangle = \int \Psi^* f(\vec{r}) \Psi \, d\vec{r}$$

$$f(\vec{p}) : \vec{p} \rightarrow p_x$$

$$\langle p_x \rangle = \int \Psi^*(x) \hat{p}_x \Psi(x) \, dx = \{ \text{воздвиж. в кв-ре} \}$$

$$\begin{aligned} \Psi(x) &= \Psi_p(x) = A e^{i \frac{\vec{p} \cdot \vec{x}}{\hbar}} = p_x = \int \Psi_p^* \hat{p}_x \Psi_p \, dx = \\ &= \{ \text{учн.} \int_{-\infty}^{+\infty} |A|^2 \, dx = 1 \} \end{aligned}$$

$$\boxed{\hat{p}_x = -i \hbar \frac{\partial}{\partial x}}$$

$$\vec{p} = -i \hbar \vec{\nabla}$$

$$\vec{\nabla} = \vec{e}_x \frac{\partial}{\partial x} + \vec{e}_y \frac{\partial}{\partial y} + \vec{e}_z \frac{\partial}{\partial z}$$

$$|\vec{e}_x| = |\vec{e}_y| = |\vec{e}_z| = 1.$$

$$f(\vec{p}) \rightarrow f(\vec{p}) = \hat{f}$$

$f(\vec{r}, \vec{p}) \rightarrow f(\vec{r}, \hat{p})$ — оператор производной
физической величины.

Оператор энергии: $H = \frac{\vec{p}^2}{2m} + V(\vec{r}) \quad (\square)$

$$\Rightarrow -\frac{\nabla^2}{2m} \Psi^2 + U(\vec{r}) = -\frac{\hbar^2}{2m} \Delta \Psi + U(\vec{r})$$

$A \rightarrow \hat{A}$, $\hat{A} \Psi = A \Psi$ \leftarrow соотв. ф-ции \hat{A}
соотв. ф-ции \hat{A}

$$A \Psi_n = A_n \Psi_n$$

П: Надо найти коэф. Ф-ции гармонического осн-ра ($\langle A \rangle = \langle A^* \rangle$) явно не получим из условия:

$$\Psi(x) = \sum_n c_n \Psi_n$$

П: Составим уравнение для коэффициентов амплитудного оператора ортогонормированности:

$$\int \Psi_n^*(x) \Psi_m(x) dx = \delta_{nm}$$

$$1 = \int |\Psi(x)|^2 dx = \sum_{nm} c_n^* c_m \int \Psi_n^* \Psi_m dx = \sum_n |c_n|^2$$

Вер-ть обнаружилась при извлечение A_n

Уравнение Шредингера.

Начальное условие $\Psi(x, t)$

$$\frac{\partial^2 \Psi}{\partial t^2} = c^2 \frac{\partial^2 \Psi}{\partial x^2} \leftarrow \text{уравнение Фокса}$$

ищущая форма: $\Psi = ce^{i(kx - \omega t)}$ \rightarrow независим от t \rightarrow неподвижное состояние

$$\Rightarrow \boxed{w^2 = k^2 c^2} \leftarrow \text{гипотетическое состояние}$$

$$\hbar w = \frac{p^2}{2m} = \frac{\hbar^2 k^2}{2m} \Rightarrow \boxed{w = \frac{\hbar}{2m} k^2} \Rightarrow$$

$$\Rightarrow i\hbar \frac{\partial \Psi}{\partial t} = -\frac{\hbar^2}{2m} \frac{\partial^2}{\partial x^2} \Psi$$

С твои уп-е даёт соотн-е $\omega = \frac{\hbar}{2m} k^2$, $H = -\frac{\hbar^2}{2m} \frac{\partial^2}{\partial x^2}$.

$$\Rightarrow \boxed{i\hbar \frac{\partial \Psi}{\partial t} = \hat{H} \Psi} \quad - \text{УРАВНЕНИЕ ШРЕДИНИГЕРА.}$$

[Несложные задачи начальные, граничные усн-я]

$\hat{H} = \hat{H}(\vec{r}, \vec{p}, t)$ // такой состояния более сложн-е нене-
линейное уравнение Шредингера.

Стационарное уравнение Шредингера.

D Стационарная система - это система, в ко-
торой $\hat{H} = \hat{H}(x, p)$

Пусть $\Psi(t, \vec{r}) = f(t) \psi(\vec{r})$

$$i\hbar \psi(\vec{r}) \frac{\partial f}{\partial t} = f(t) \hat{H} \psi(\vec{r}) \Rightarrow$$

$$\Rightarrow i\hbar \frac{1}{f} \frac{\partial f}{\partial t} = \frac{1}{\psi(\vec{r})} \hat{H} \psi(\vec{r}) = \text{const} = E \Rightarrow$$

$$\Rightarrow \frac{\partial f}{\partial t} = -\frac{iE}{\hbar} f(t) \Rightarrow f(t) = C e^{-\frac{iE}{\hbar} t}$$

$$u \quad \boxed{\hat{H}(\psi(\vec{r})) = E \psi(\vec{r})}$$

$\Rightarrow E$ -спектр. Зн-е
← СТАЦИОНАРНОЕ УРАВНЕНИЕ ШРЕДИНИГЕРА.

$$\Psi(\vec{r}, t) = \sum_n c_n \psi_n(\vec{r}) e^{-i \frac{E_n}{\hbar} t} \quad - \text{однозначное решениe.}$$

21.02.07 — лекция № 3.

$$i\hbar \frac{\partial \Psi}{\partial t} = H\Psi$$

загадка упрощается, если $H=H(x, p) \Rightarrow$

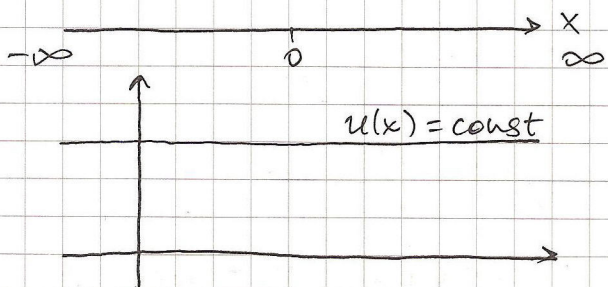
\Rightarrow стационарное уравнение Шредингера:

$$\hat{H}\Psi = E\Psi + \text{изменяющееся члены}.$$

Решение и начальное значение.

Дисперсионное и непрерывные энергии состояния. Значение радиуса в одномерной потенциальной яме. Двухуровневое приближение (Квантовый деб (Кюбис)). Эффект туннелирования.

Инициальное значение

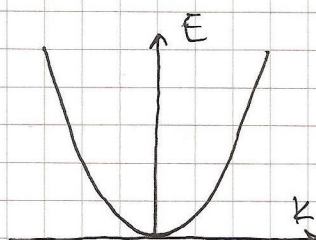


$u(x) = \text{const} = 0 \Leftarrow$ для отсутствия обстоятельств

$$H = -\frac{\hbar^2}{2m} \frac{\partial^2}{\partial x^2} \Rightarrow$$

$$\Rightarrow -\frac{\hbar^2}{2m} \frac{\partial^2 \Psi}{\partial x^2} = E\Psi$$

Численное решение: $\Psi = Ce^{ikx}$



\Rightarrow негабаритное решение $\Psi \Rightarrow \frac{\hbar^2 k^2}{2m} = E$

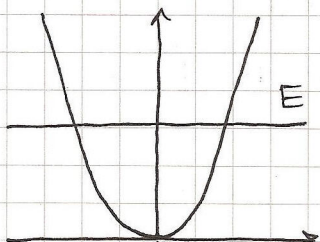
Движение в потенциальных ямах.

ПРИМЕР 1:

$$\lim_{x \rightarrow \infty} U(x) = 0$$

К-котр-т начально

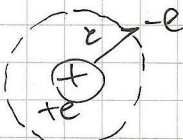
Потенциальная энергия: $U(x) = \frac{kx^2}{2}$



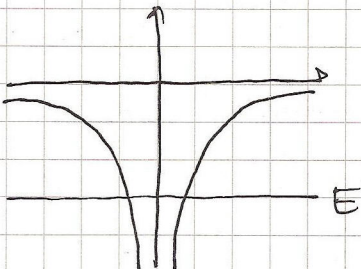
$$\left(-\frac{\hbar^2}{2m} \frac{\partial^2}{\partial x^2} \frac{kx^2}{2} \right) \Psi = E \Psi$$

Решение этого уравнения —
одномерная задача.

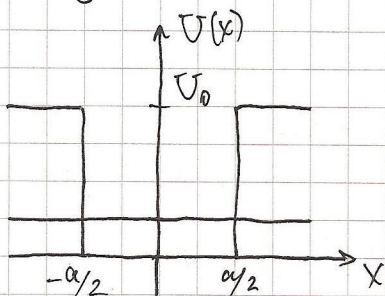
ПРИМЕР 2:



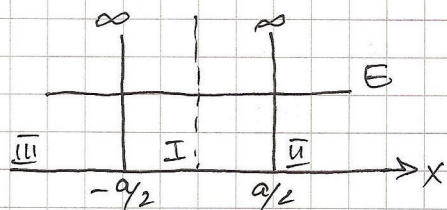
$$U(r) = -\frac{e^2}{|r|}$$



Задача:



← упрощение задачи: $U_0 \rightarrow \infty$, т.е.



а затем обобщим её решение.

Решение для задачи:

$$(I): U(x) = 0 \quad \Psi = C e^{\pm ikx}$$

$$(II, III): \Psi(x) = 0.$$

$$\Psi_I(-\frac{a}{2}) = \Psi_I(\frac{a}{2}) = 0$$

$$\Psi_{I+} = C_1 (e^{ikx} + e^{-ikx}) = C_1 \cos kx$$

$$\Psi_{I-} = D_1 (e^{ikx} - e^{-ikx}) = D_1 \sin kx$$

УЗ расщепление основных: $\cos \frac{ka}{2} = 0$, $\frac{ka}{2} = \frac{\pi}{2} n$, $n=1,2,3\dots$

$$k_n = \frac{\pi}{a} n, n=1,3,5,\dots$$

$$E_n = \frac{\hbar^2 k_n^2}{2m}, \quad \Psi_n = C_n \cos k_n x$$

} где четных номеров.

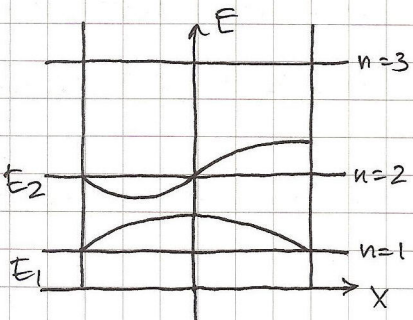
$$\sin \frac{ka}{2} = 0$$

$$\frac{k_n' a}{2} = \pi n', n' = 1,2,3,\dots \Rightarrow n = 2n'$$

$$\frac{k_n a}{2} = \frac{\pi}{2} n, n=2,4$$

$$E_n = \frac{\hbar^2 k_n^2}{2m}, \quad \Psi_n = D_n \sin k_n x$$

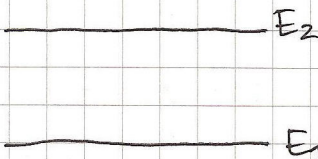
} где нечетных номеров.



- расстояние между уровнями уменьшается

\Rightarrow все возникшие дисперсионные переходы между уровнями звуком.

Двухуровневая система.

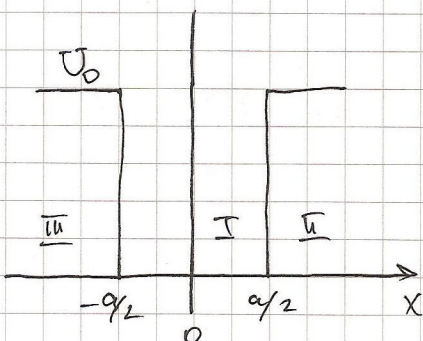


Этот случай, при изобарических условиях совершается переход от только между типами звуковых колебаний.

Двухуровневая квантование с-на

Рассмотрим случай, когда эта вышеупомянутая

2) задача:



В области I края не могут
быть.

$$\left(-\frac{\hbar^2}{2m} \frac{\partial^2}{\partial x^2} + U_0 \right) \Psi_{\text{III}} = E \Psi_{\text{III}} \Rightarrow \\ \Rightarrow \frac{\hbar^2}{2m} \frac{\partial^2}{\partial x^2} \Psi_{\text{III}} = (U_0 - E) \Psi_{\text{III}}$$

Если $E < U_0 \Rightarrow$ правая гаусс
нормаль.

\Rightarrow реш-е имеет релаксационный характер, а
не колебательный \Rightarrow

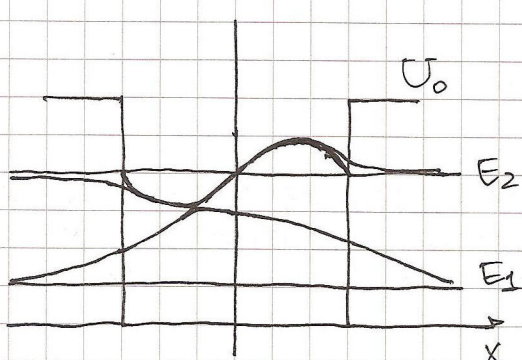
$$\Rightarrow \Psi_{\text{III}}(x) \propto e^{\pm \sqrt{\frac{2m(E-U_0)}{\hbar^2}} x}$$

т.е. реш-е надо зачукать, либо возвращать.

No! Возвращающее решение отрицательно, т.к.

Возвращающее решение должно удовлетворять
условию $\Psi \rightarrow 0$ при $x \rightarrow \infty$.

Из-за симметрической задачи в области II реш-е
аналогично.



← проникновение в област-

ти края краевое в классиче-

ких неоднородных областях.

← но в квантовой механике

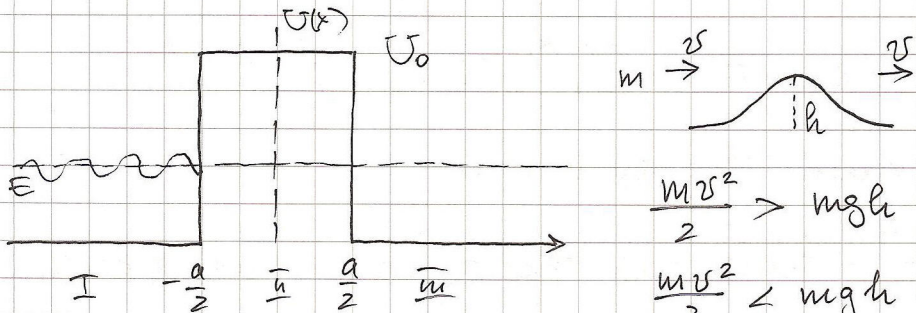
такого запрета нет, и частица
может проникнуть в область $E < U$.

Классический энергия: $E = K + U(x)$

$$K > 0.$$

Классический энергия: $E = K + U(x)$
 $K > 0$.

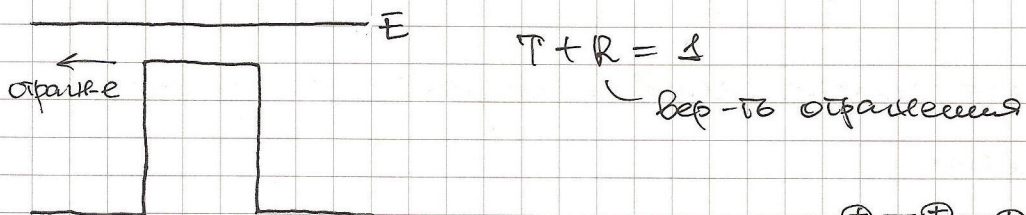
Приложимоее поле натягивающий барьер.



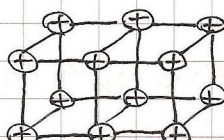
$$\text{Если } E < U_0 : \Psi_{\text{out}} \propto C e^{-\sqrt{\frac{2m(U_0-E)}{\hbar^2}}x}$$

Если барьер прозрачный и E близка к U_0 , то частица проходит через барьер \Rightarrow квантово-когерентный эффект - туннелирование.

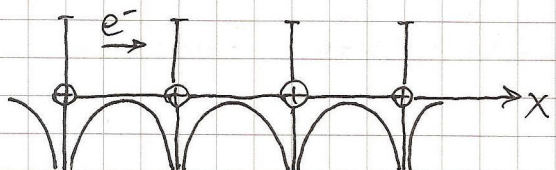
Всп-по приложимоее поле барьер $\propto e^{-\sqrt{\frac{2m(U_0-E)}{\hbar^2}}a}$



Использовалось в физике IB.так:



Одномерный гармоник.



$$U(x) = U(x+a)$$

$$\left(-\frac{\hbar^2}{2m} \frac{\partial^2}{\partial x^2} + U(x) \right) \Psi = E \Psi$$

$$U(x) = \sum_q U_q e^{iqx}$$

$$q = \frac{2\pi}{a} n, n=1, 2, 3$$

С бесконечной обратной связью.

$\Psi = \sum_k c_k e^{ikx}$ — имеет идущих волн.

$$\sum_{k'} c_{k'} e^{ik'x} (\epsilon_{k'} - E) + \sum_{k'} \sum_g U_g c_{k'} e^{ik'x + igx} = 0$$

С уравнение неравенства.

$E_{k'} = \frac{\hbar^2 k'^2}{2m}$ — энергия свободного электрона.

$$\frac{1}{L} \int_0^L e^{-ikx} dx ; \frac{1}{L} \int_0^L e^{i(k+g-k)x} dx = \begin{cases} 1, & k+g-u=0 \\ 0, & k+g-u \neq 0. \end{cases}$$

$$\boxed{c_k(\epsilon_k - E) + \sum_g U_g c_{k-g} = 0}$$

$$\Psi = \sum_k c_k e^{ikx} \rightarrow \sum_g c_{k-g} e^{i(k-g)x} = u_k(x) e^{ikx},$$

$$\text{т.е. } u_k(x) = \sum_g c_{k-g} e^{-igx}$$

Таким образом получаем следующим условием:

$$\begin{cases} u_k(x) = u_k(x+a), \\ u_{k+g}(x) = u_k(x) \end{cases}$$

[Блоха] : Волевая функция электрона в кристалле задаётся функцией Блоха:

$$\psi_k(x) = u_k(x) e^{ikx}$$

28.02.07 - лекция №4

Звуковые волны в однородном покоящемся

Поле-е уп-с Упругости: $-\frac{\hbar^2}{2m} \frac{\partial^2 \psi}{\partial x^2} + U(x)\psi = E\psi$

однородн. покоящем: $U(k) = U(x+a)$

однородн. $\psi_k = u_k(x) e^{ikx}$

$u_k(x+a) = u_k(x)$, $q_n = \frac{2\pi}{a} n$

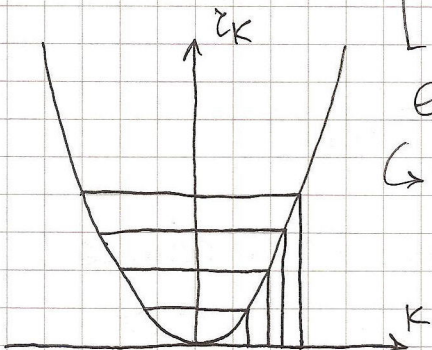
Угловое, то есть кинетическая энергия в единицах состояния не зависит от времени, т.е. одинакова с однородным покоящимся, т.е. одинакова в кристалле. Решётка дает поправку:

$[E_k = \frac{\hbar^2 k^2}{2m}]$ - спектр свободного электрона.

$e^{ikL} = 1$ - однородн. зв. при L

\hookrightarrow Квадратичное: $k_n L = 2\pi n$

$[k_n = \frac{2\pi}{L} n]$ - период



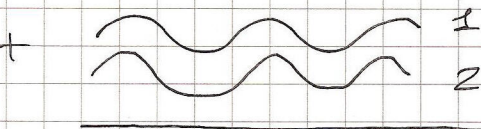
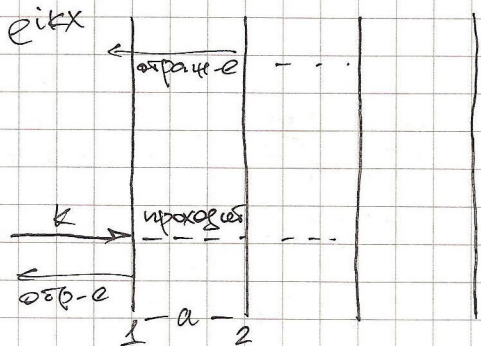
Масса в замедлении m^* :

$[E_k = \frac{\hbar^2 k^2}{2m^*}]$ - спектр электрона в кристалле.

[2002г.: Когома! "Рынок полупроводников"]

$$\Psi_K(x) = \sum_{q \neq 0} c_{k-q} e^{i(k-q)x}$$

Характеристики:



Численное = колебание

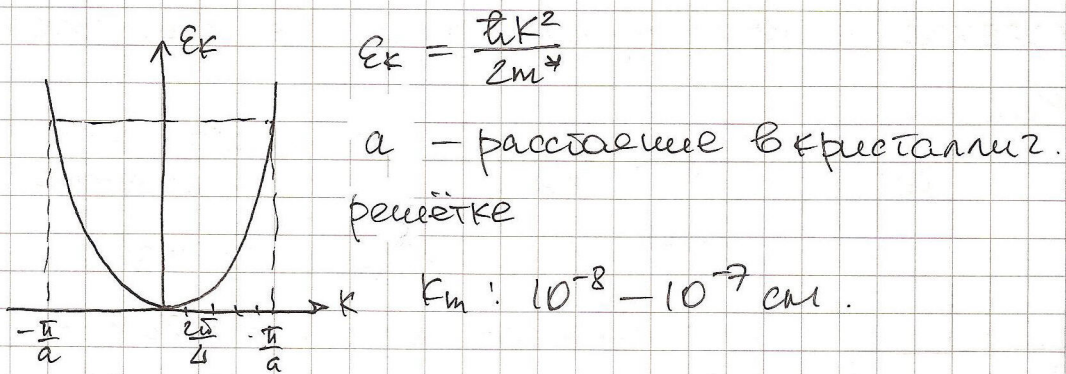
реально существует.

Разносов Хода 1 и 2: $\Delta_{12} = 2a = n\lambda, n=1, 2, \dots$

$$2a = m \frac{2\pi}{\lambda} \rightarrow \text{6 точек } k_m = \frac{n}{a} \text{ м}, m = \pm 1, \pm 2$$

└ 6 точек точек

Послед. это прохождение в $m = \pm 1$:



Скорость света в вакууме в пакете:

$$\begin{aligned} \Psi_K &= \sum_{q \neq 0} c_{k-q} e^{i(k-q)x} \rightarrow (c_k e^{i k x} + \underbrace{c_{k-q} e^{i(k-q)x}}_{\substack{\text{наганое. волне} \\ \text{стационарное. (напарированное)}}}) = \\ &= \left(c_{\frac{\pi}{a}} e^{i \frac{\pi}{a} x} + c_{-\frac{\pi}{a}} e^{-i \frac{\pi}{a} x} \right) \end{aligned}$$

Здесь есть неправильное описание волной: $= e^{-E_K/\hbar^2 t}$
Время неизвестно

Сверхзвуковая Брэдлия $g_u = \frac{2\pi}{a} n$

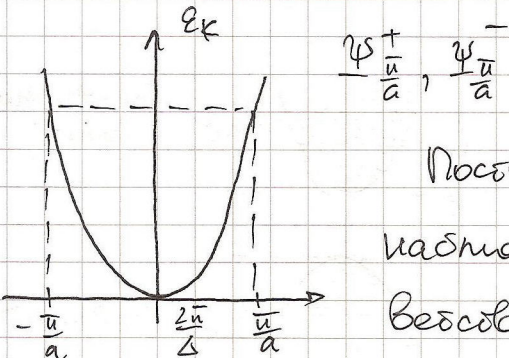
$$C_{\frac{u}{a}} = \pm C_{-\frac{u}{a}} \leftarrow \text{симметрия задачи.}$$

Ус. независим и отражённой волне можно составить две константы:

[аналогичн. независимые энрг.]

$$\Psi_k^{(+)} = C (e^{i\frac{\pi}{a}x} + e^{-i\frac{\pi}{a}x})$$

$$\Psi_k^{(-)} = D (e^{i\frac{\pi}{a}x} - e^{-i\frac{\pi}{a}x}) \rightarrow \begin{array}{l} \text{Комбинации часовых} \\ \text{периодов на гр-ях зоны} \\ \text{Брэдлиотна.} \end{array}$$



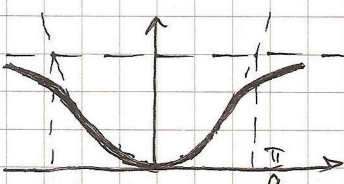
Получат колебательное движение:
найдётся такое значение ω_0 ,
всёобщее симметрическое зонное.
= В данном случае, турбак.

$$E_{\frac{u}{a}} = \int \Psi_{\frac{u}{a}}(x) H(x) \Psi_{\frac{u}{a}}(x) dx$$

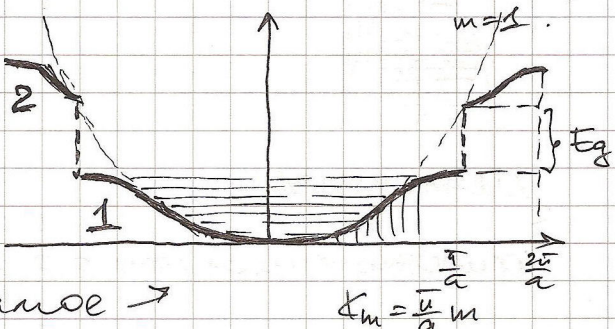
\rightarrow одн. точка $\frac{u}{a}$ содержит зонное значение
энергии: $E_{\frac{u}{a}}^{(+)} = \int \Psi_{\frac{u}{a}}^{(+)}(x) H(x) \Psi_{\frac{u}{a}}^{(+)}(x) dx$.

Симметрические исчезающие волны $\epsilon \cdot \frac{u}{a} m \equiv$

\equiv зоне Брэдлиотна:



В симм. зоне -то же самое \rightarrow



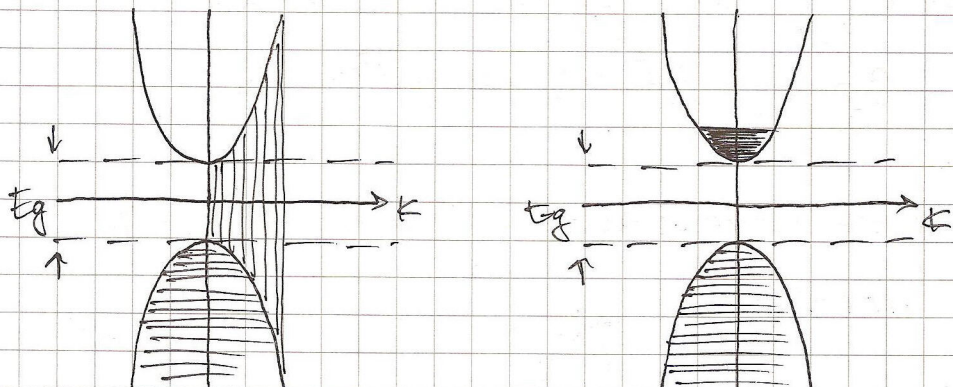
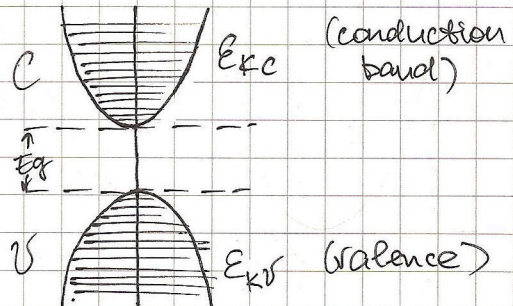
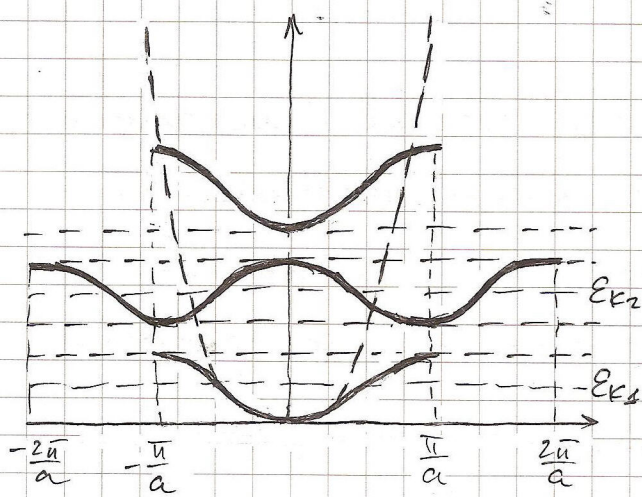
E_g = запрещенная зона.

$\Psi_{K}(x) = \Psi_{K+q}(x) \rightarrow$ симметрия огнивков!
(однородность!)

$\Rightarrow |\Psi_{K}(x)|^2 = |\Psi_{K+q}(x)|^2$ - наше оно ведет-
шись плюсом кривой.

$$g = \frac{2\pi}{a} \cdot n.$$

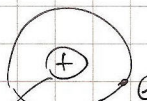
Образование пленки так:



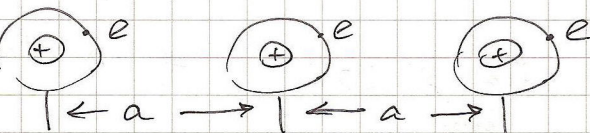
Симметричное заполнение зоны не проходит т.к.

Принцип Паули: В одном квантовом состоянии может находиться только один - заряда с определенным зарядом.

ПРИМЕР: На (тетраэдрический мицан) в одной группе:

Na_{ss}  - характерная валентность $\equiv 1$.

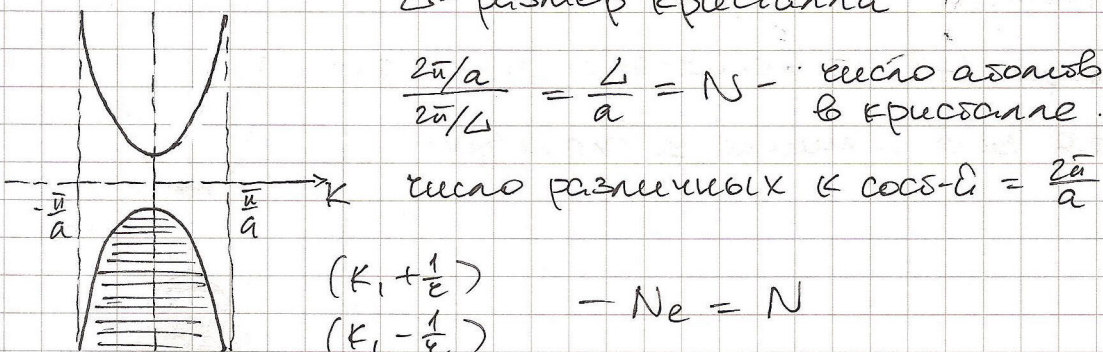
тое с ядром образуют ионогенерируемые ионы.

ионная решетка: 

Числительный пример для групп и принципа Паули: в кристалле из K соединений находятся 2 тетраэдра:

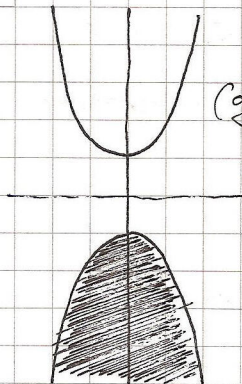
1- размер кристалла

$$\frac{2\pi/a}{2\pi/a} = \frac{1}{a} = N - \text{число атомов в кристалле.}$$



$$\begin{aligned} & (K_1 + \frac{1}{2}) \\ & (K_1 - \frac{1}{2}) \end{aligned} - Ne = N$$

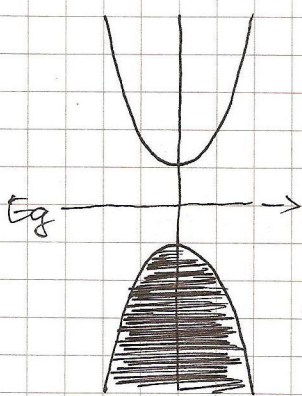
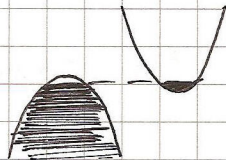
\Rightarrow телескоп с четвертой валентностью (мицан) можно при соединении в кристалл дает неодин (правильного) гнездо кристаллов с одним атомом в ячейке).



\Rightarrow Если ток несет заряд

(заряженные) частицы balanced, то
они не влияют на ее.

Если есть за- \leftarrow
напряжение светка, то
они не "поглощают".



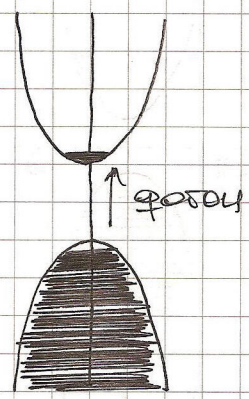
$$E_g^{nn} \approx 1.9 \text{ eV}$$

$$E_g^{\text{gap}} \approx 9.7 \text{ eV}$$

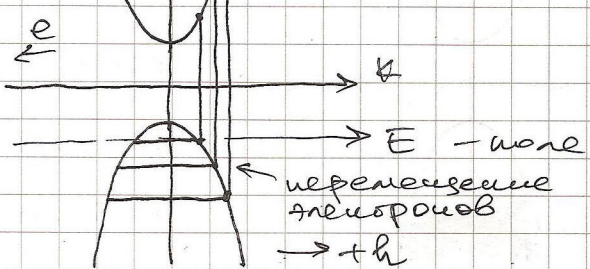
ПРИМЕР: NaCl

С при воздействии светом (2000-
нано) в диоде образуются
"дырки":

дырка ($+h$) \equiv отсутствие электрон-
ной зоны — имеет 1 заряд.



В этом случае генерируются
электрическое поле:



Способом наименованием создания дырок:

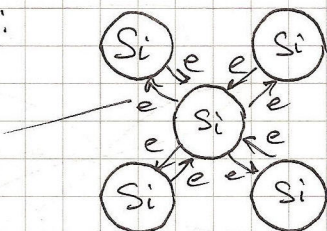
- освобождение (долго не живут, теплопроводы будут возвращаться к первоначальному состоянию)

[Примеры: лазер, фотонапоминание и
лазер \rightarrow "Фотонное плавка"].

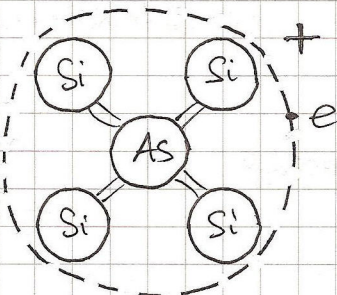
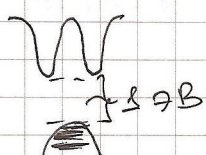
- введение в полупроводник примесей с чётной валентностью (изогородивший полупроводник)

ПРИМЕР: Si : $v=4$:

пара теплопроводов с
противоположно
направленными
движениями.



Вводятся примеси : бор ($v=3$) , мышевик As^{As} ($v=5$) :



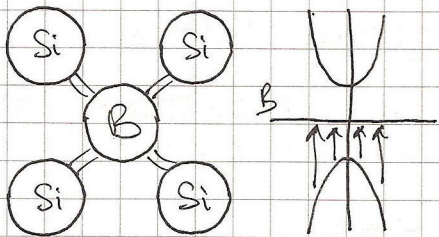
одна из связыва-
ющих пар теплопро-
водов исчезла
из-за изогородки с
примесью .



- одна из связыва-
ющих пар теплопро-
водов в
зоне проводимости .

С такой изогородкой наз-ва полупроводни-
кове N-типа с примесью - донорами .

Аналогично, создается дырки при вводе анти-
кислотностью $v=3$.



— полупроводник P-типа \equiv с избыточным
избыточный \rightarrow положительный.

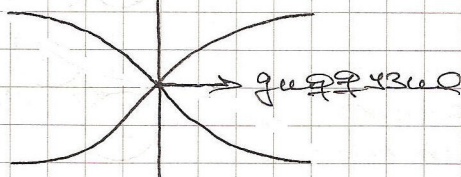
зарядом в объеме в отрицательной форме:
 10^{-21} / cm^3

PN-переход

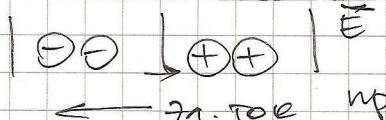
избыточное n-поло \rightarrow

| N | P |
|----------------|----------------|
| $e^- =$ +++ | +++ $o^- =$ |
| A | B |

избыток зарядов

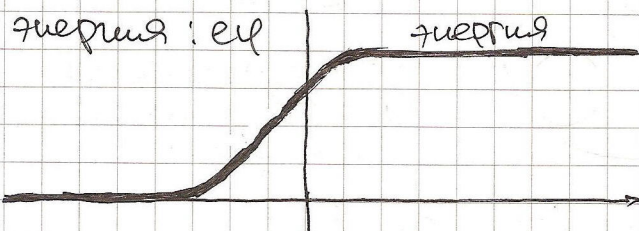


избыточный
заряд



$$\leftarrow n.\text{ток} \quad \text{протн} = \delta E$$

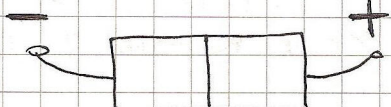
С ток барьера \rightarrow до исчезновение состояния —
его создания



— переходного сопротивления
барьера

Благодаря этому барьера, токи из N-области
не могут перейти в P-область.

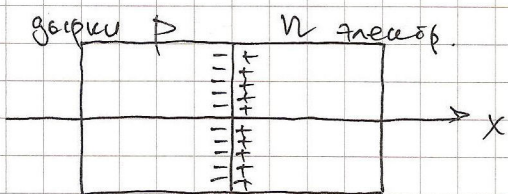
Как изменяется величина барьера?
— добавить внешнее напряжение.



\Rightarrow электроны устремляются в P-область, и
туда ток. А положителе зарядов

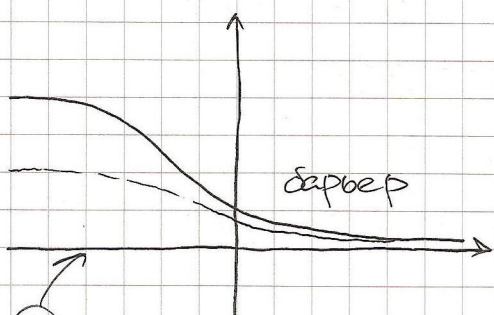
07.03.07 - лекция № 5

PN - переход. Транзистор.

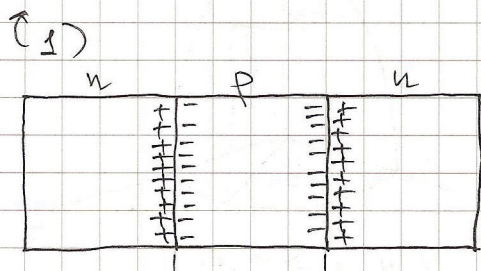


положительное напряжение:

- 1)
- 2)

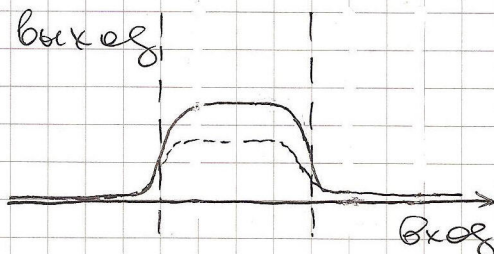


+ Уменьшение барьера при приложении напряжения соответствующего знака.

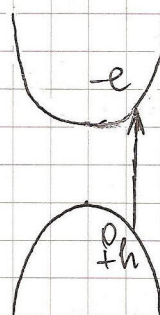


Снижение барьера при плюс. напр. на диоде

при плюс. напр. на диоде барьер уменьшается:



Заданный сигнал



Составляется условие для обозначения $x = x'$:

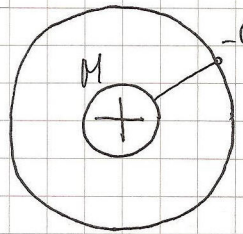
$$\begin{aligned} -U & 0 \text{ Вход} \\ +U & 1 \text{ Вход} \end{aligned}$$

Тогда есть: 1

так есть: 0

Благодаря этому есть дырки и электропроводность \Rightarrow
 \Rightarrow ТРАНЗИСТОР РАБОТАЕТ!

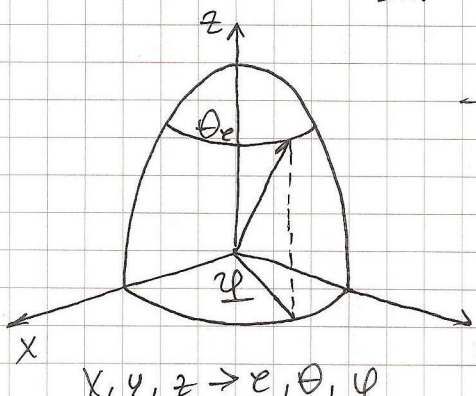
ПРИМЕР: Атом водорода \downarrow



$m_e \ll m$, $\frac{m}{M} \sim 10^{-3} \Rightarrow$ Электроны не сильно меняют форму и распределение в кулоновском поле ядра.

$$\hat{H}\Psi = E\Psi - \text{уп-е} \text{ Шредингера.}$$

$$\Psi(\vec{r}) \quad \hat{H} = \frac{\hbar^2}{2m} \Delta - \frac{ze^2}{r}$$



$$-\frac{\hbar^2}{2m} \Delta_r \Psi = \frac{\hbar^2}{2mr^2} \Delta_{\theta, \varphi} \Psi =$$

$$= (E - U(r)) \Psi$$

$$U(r) = -\frac{ze^2}{r};$$

$$\Psi(r, \theta, \varphi) = R(r) Y(\theta, \varphi)$$

$$\text{Л.в. } (\Psi) = \nabla \cdot \vec{r} \cdot (\theta, \varphi) = \lambda$$

↑
радиальн.
↑
угловое

результатом: $\Delta_r R + \frac{2m}{\hbar^2} (E - U_{\text{эффекн.}}(r)) R = 0,$

$$\Delta_r = \frac{1}{r} \frac{\partial}{\partial r} \left(r \frac{\partial}{\partial r} \right), \quad U_{\text{эффекн.}}(r) = \dot{U}(r) + \lambda \frac{\hbar^2}{2mr^2}$$

$$\Delta_{\theta, \varphi} \Psi + \lambda \Psi = 0$$

$$\Delta_{\theta, \varphi} = \frac{1}{\sin^2 \theta} \frac{\partial}{\partial \theta} \left(\sin \theta \frac{\partial}{\partial \theta} \right) + \frac{1}{\sin \theta} \frac{\partial^2}{\partial \varphi^2}$$

$$\Psi(\theta, \varphi) = \Theta(\theta) - \Phi(\varphi)$$

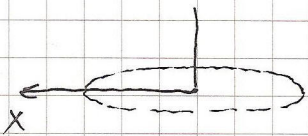
$$\frac{d^2 \Phi}{d\varphi^2} + m^2 \Phi(\varphi) = 0$$

$\hat{L}_{\text{кругл.}}$

$$\frac{1}{\sin \theta} \frac{d}{d\theta} \left(\sin \theta \frac{d}{d\theta} \right) \Theta + \left(\lambda - \frac{m^2}{\sin^2 \theta} \right) \Theta = 0.$$

решение: $\Phi(\varphi) = C e^{im\varphi}$

$$\Omega(0) = \Omega(2\pi)$$



$m = 0, \pm 1, \pm 2, \dots$ - мажесное
уравнение звука.

$$\cos \theta = \xi$$

$$(1-\xi^2) \dot{\theta}(\xi) - 2\xi \dot{\theta}' + \left(2 - \frac{m^2}{1-\xi^2}\right) \theta = 0.$$

[Изложеное нормалное написано в

ЛНТ-РД!: Блохинцев "Квадратное уравнение"

$\lambda = \ell(\ell+1)$, $\ell = 0, 1, 2, \dots$ - орбитальное уравнение звука.

$$\Theta_{\ell m}(\theta) = C P_\ell^{(m)}(\cos \theta)$$

$$\Psi_{\ell m}(\theta, \varphi) = C_{\ell m} P_\ell^{(m)}(\cos \theta) e^{im\varphi}$$

номиналне решения: $P_\ell^{(m)} = 0$, $|m| > \ell \Rightarrow$

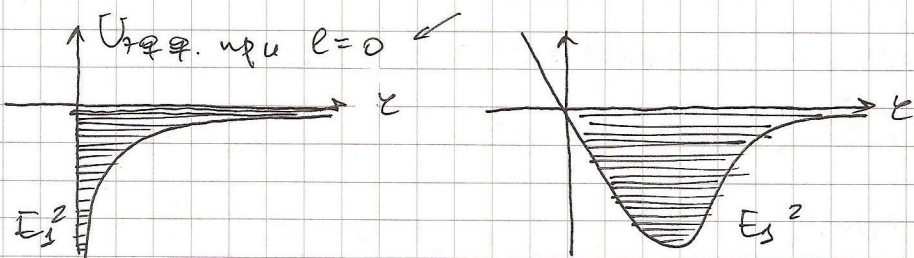
$\Rightarrow P_\ell^{(m)} \neq 0$ нбу $|m| \leq \ell$, $\ell = 0, 1, 2, \dots$, $m = -\ell, \dots, 0, \dots +\ell$

$$f(r) = \frac{f(r)}{r}$$

$$\frac{d^2 f}{dr^2} + \frac{2m}{r^2} (E - U_{\text{эфф.}}(r)) f = 0.$$

$$U_{\text{эфф.}} = -\frac{ze^2}{r} + \frac{\ell^2}{2mr^2} \ell(\ell+1).$$

$\ell = 0$ (S-составнене)



[Окето же, Блохинцев ...]

T.K.-сценарий борга гибели резонанса.

$n = 1, 2, 3$ - главное кв. число

$l = 0, 1, \dots, n-1$ - орбитальное кв. число

$|m| \leq l$ - м - магнитное кв. число

Все
главные
числа.

$$R_{nl}(r) \text{ соотв. зу-е} \rightarrow E_n = -\frac{2^2 e^4 m}{2\pi^2} \frac{1}{n^2}$$

Округленный вид волновой функции гелия

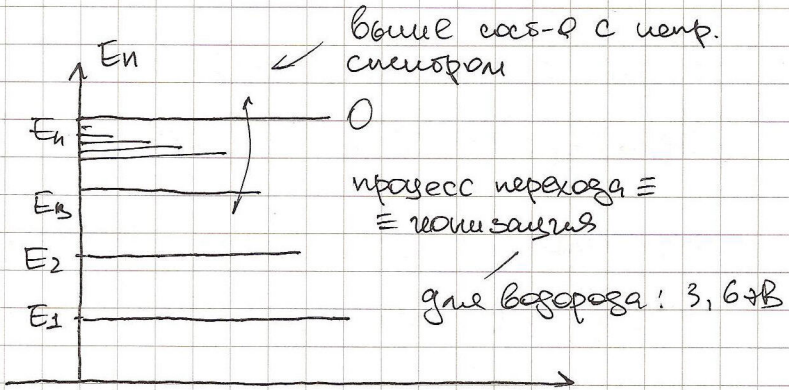
в ионизованном состоянии:

$$\Psi_{h,l,m}(r, \theta, \varphi) = R_{nl}(r) \Theta_{lm}(\theta) Y_m(\varphi)$$

$$\lambda = l(l+1)$$

глав. серия
переходов
импульсивных
излучений и
хорошо опред-ся
2-ий бор:

$$\hbar \omega_{mn} = E_m - E_n$$

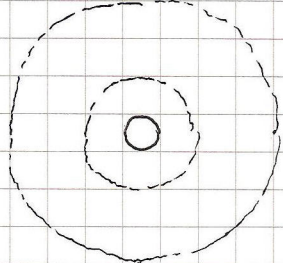
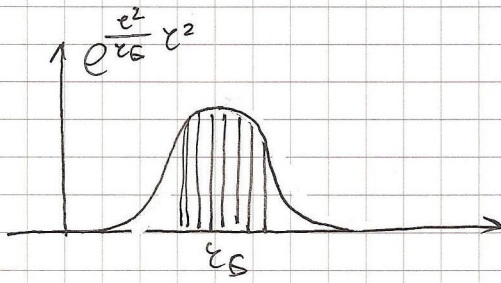
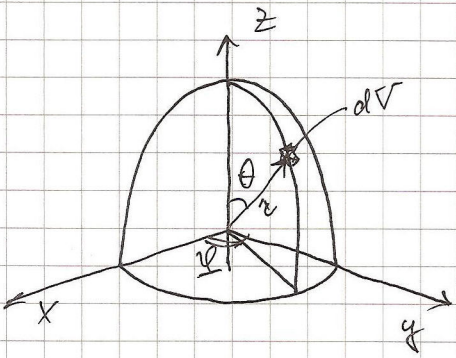


$n=1 \equiv$ гелий находится в самом низком энергетическом состоянии. В этом случае $l=0$ - главное кв. число, $m=0$. Соотв. с таким кв. числом \equiv ОБЫЧНОЕ состояние гелия.

$$R_{1,0} = C e^{-\frac{r}{a_B}}, \quad a_B = 0.5 \cdot 10^{-8} \text{ см} - радиус бора$$

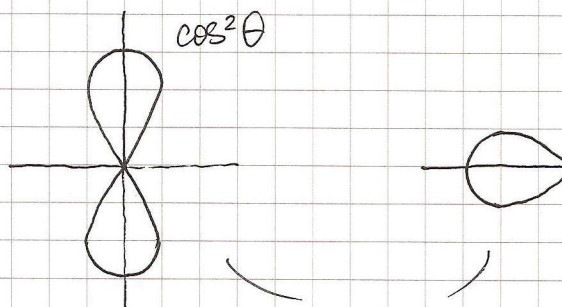
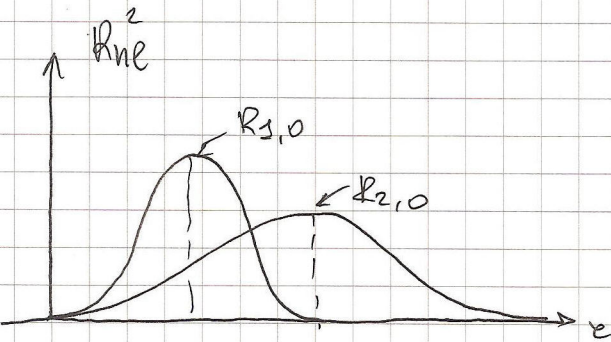
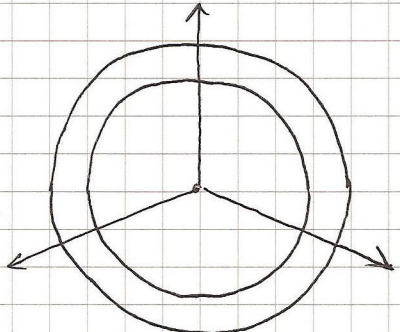
$$\underbrace{\left| \Psi_{1,0,0} \right|^2}_{\text{плотность вероятности}} \int r^2 dr d\Omega$$

$$R_{1,0}^2(r) r^2 dr = C e^{-\frac{2r}{a_B}} r^2 dr$$



$$n=2, \ell=0, m=0$$

$$\ell=1, m=0, m=\pm 1$$



$$\cos^2 \theta$$

$$\sin^2 \theta$$

антирадиальная плотность

АНИЗОТРОПИЯ

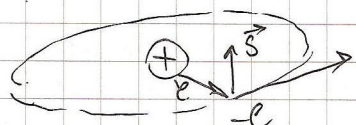
21.03.07 - лекция № 7

[Поправка к прошлой лекции от Верочки:

$$\begin{cases} \tilde{\sigma}_x \tilde{\sigma}_y - \tilde{\sigma}_y \tilde{\sigma}_x = 2i \tilde{\sigma}_z, \\ \tilde{\sigma}_y \tilde{\sigma}_z - \tilde{\sigma}_z \tilde{\sigma}_y = 2i \tilde{\sigma}_x, \\ \tilde{\sigma}_z \tilde{\sigma}_x - \tilde{\sigma}_x \tilde{\sigma}_z = 2i \tilde{\sigma}_y \end{cases}$$

Матричная формализация квантовой механики.

Квантовый спин (собственного механического момента):



1928 г. — Релятивистская теория спина Дирака + матричные операторы:

$$\hat{\sigma}_{x,y,z} = \frac{\hbar}{2} \tilde{\sigma}_{x,y,z}; \quad \hat{\sigma}_z = \begin{pmatrix} 1 & 0 \\ 0 & -1 \end{pmatrix} \quad \hat{\sigma}_y = \begin{pmatrix} 0 & -i \\ i & 0 \end{pmatrix}$$

$$\hat{\sigma}_x = \begin{pmatrix} 0 & 1 \\ -1 & 0 \end{pmatrix}$$

составлено на собств. врп / собств. значениях.

\hat{A} ; $\hat{A}\psi = A\psi$ — операт. врп-е

\hat{B} ; $\hat{B}\psi_n = B_n\psi_n$ — ненулевые собственные врп

$\psi(x) = \sum_m c_m \psi_m(x)$ ← переход к представлению оператора B .

Подставляем: $\sum_m c_m \hat{A} \psi_m = A \sum_m c_m \psi_m$

$$\int \psi(x) dx$$

$$\sum_m c_m A_{km} = A \sum_m c_m \delta_{mk} \quad ; \quad \sum_m c_m (A_{km} - A_{\delta mk}) = 0.$$

Числовые разрешимости: $\det(A_{km} - \delta_{mk} A) = 0$.

$$A: \sum_m |c_m|^2 = 1.$$

Как перейти к next. формальную в смысле
некоммутативного оп-а представления?

$$H_0 \psi_n = E_n \psi_n$$

$$\Psi(x, t) = \sum c_n^{(1)} \psi_n(x)$$

$$i\hbar \sum_n c_n \dot{\psi}_n = \sum_n c_n \dot{\psi}_n$$

$$i\hbar \dot{c}_n = \sum_n H_{mn} c_m$$

$$H_{mn} = \int \psi_m^* \hat{H} \psi_n dx$$

$$V_{\text{базис.}} = - \frac{d}{dt} E$$

$$(H_b)_{mn} = \int \psi_m^* \hat{H}_b \psi_n dx = \delta_{mn} \cdot \hat{H}_b \psi_n = E_n \psi_n = = E_n \delta_{mn}$$

$$\langle \Psi \rangle = \begin{pmatrix} c_1(t) \\ c_2(t) \\ \vdots \\ c_m(t) \end{pmatrix}$$

↑
constans
(квадратное
дополнение)

$$\langle \Psi | \Psi \rangle = \sum_m |c_m|^2 = 1.$$

$$\hat{A} \Psi = A \Psi$$

$$H_0 \psi_1 = E_1 \psi_1$$

$$H = H_0 + V$$

$$H_0 \psi_2 = E_2 \psi_2$$

$$\hat{A} \Psi = E \Psi$$

$$\Psi = \alpha_1 \psi_1 + \alpha_2 \psi_2$$

$$\alpha_1 \hat{H} \psi_1 + \alpha_2 \hat{H} \psi_2 = E (\alpha_1 \psi_1 + \alpha_2 \psi_2)$$

$$\int \psi_1(x) dx$$

$$\alpha_1 H_{11} + \alpha_2 H_{12} = E \alpha_1$$

$$\int \psi_n(x) dx$$

без огог!
насю сюю наое-то ноне :

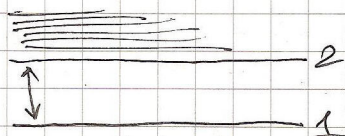
$$\xrightarrow{\vec{E}} \hat{H} = \hat{H}_0 + V_{\text{базис.}}$$

⊕

одер-р тиерии
взаимодействия атом
с вибрации вибрации

$$= E_n \delta_{mn}$$

гвяждовое ядро
атом с дипольным
спектром:



Диагональные ψ_1 , ψ_2 антиперпендикулярны \rightarrow норм. зоэ элп-е:

$$\begin{cases} \alpha_1 H_{11} + \alpha_2 H_{12} = E \alpha_1, \\ \alpha_1 H_{21} + \alpha_2 H_{22} = E \alpha_2. \end{cases}$$

$$\begin{vmatrix} H_{11} - E & H_{12} \\ H_{21} & H_{22} - E \end{vmatrix} = 0$$

$$E^2 - E(H_{11} + H_{22}) + H_{11}H_{22} - H_{12}H_{21} = 0.$$

$$E_{\pm} = \frac{H_{11} + H_{22}}{2} \pm \sqrt{\frac{(H_{11} + H_{22})^2}{4} - H_{11}H_{22} + H_{12}H_{21}}$$

\Rightarrow зу-е зуерзие атома $\&$ зоне:

$$E_{\pm} = \frac{H_{11} + H_{22}}{2} \pm \sqrt{\frac{(H_{11} - H_{22})^2}{4} + H_{12}H_{21}}$$

Соответствующее значение E называется
бескогородкою энергией.

Как берётся сечение симметрии атома?

$$H = H_0 - d \vec{E}, \quad d - генерирующие моменты атома$$

$$H_0 \psi_1 = E_1 \psi_1; \quad \hat{H}_0 \psi_2 = \bar{E}_2 \psi_2$$

$$\vec{d}_{11}, \vec{d}_{22} \quad \vec{d} = e \vec{e}, \quad \vec{e} \xleftrightarrow{+} \vec{e} \xleftrightarrow{-} \vec{e} \quad d_{11} = e \int \psi_1 \vec{e} \psi_1 d \vec{r}$$

$$\begin{aligned} \psi_1(-z) &= \psi(z) \\ \psi_1(-z) &= -\psi(z) \end{aligned}$$

В случае, когда симметрия
использована симметрией:

$$\hat{H}(-z) = \hat{H}(z)$$

$$\vec{d}_{11} = \vec{d}_{22} = 0$$

$$E_{\pm} = \frac{E_2 + E_1}{2} \pm \sqrt{\frac{(E_2 - E_1)^2}{2} + (d_{12})^2}$$

$$\vec{d}_{32} = e \int \psi_2^*(e) \vec{\epsilon} \psi_2(e) d\vec{e}$$

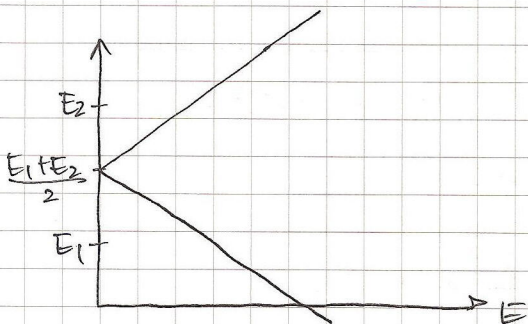
$$E_+ \approx E_2 + \frac{|d_{21}E|^2}{\hbar w^2}, \quad h_{-21} = E_2 - E_-.$$

$$E_2$$

$$E_- \approx E - \frac{|d_{21}E|^2}{\hbar w_{21}}$$

$$E_1$$

$$\hat{\sigma}_2 = \begin{pmatrix} 1 & 0 \\ 0 & -1 \end{pmatrix}, \quad \hat{\sigma}_x = \begin{pmatrix} 0 & 1 \\ 1 & 0 \end{pmatrix}, \quad \hat{\sigma}_y = \begin{pmatrix} 0 & -i \\ i & 0 \end{pmatrix}$$



$$S_{x, \psi_1, 2} = \frac{\hbar}{2} G_{x, \psi_1, 2}$$

Поставим задачу на соотв. Ψ -функции / соотв. зур спиралей (*) :

$$\hat{\sigma}_z \begin{pmatrix} c_1 \\ c_2 \end{pmatrix} = \begin{pmatrix} 1 & 0 \\ 0 & -1 \end{pmatrix} \begin{pmatrix} c_1 \\ c_2 \end{pmatrix} = \lambda \begin{pmatrix} c_1 \\ c_2 \end{pmatrix}$$

$$\begin{pmatrix} c_1 \\ -c_2 \end{pmatrix} = \lambda \begin{pmatrix} c_1 \\ c_2 \end{pmatrix}$$

$$\underbrace{\lambda = +1}_{\text{или } -1} \Rightarrow c_1 = 1, c_2 = 0.$$

$$\begin{pmatrix} 1 \\ 0 \end{pmatrix} = |0\rangle; \quad \lambda = +1.$$

$$S_z = \frac{\hbar}{2}$$

$$\underbrace{\lambda = -1}_{\text{или } +1} \Rightarrow c_1 = 0, c_2 = 1.$$

$$\begin{pmatrix} 0 \\ 1 \end{pmatrix} = |1\rangle$$

$$S_z = -\frac{\hbar}{2}$$

Принцип наименее отрицательной кв. нормы от инак-
согласного значения включает производных
суперпозиций $|0\rangle, |1\rangle$:

$$|\Psi\rangle = a|0\rangle + b|1\rangle$$

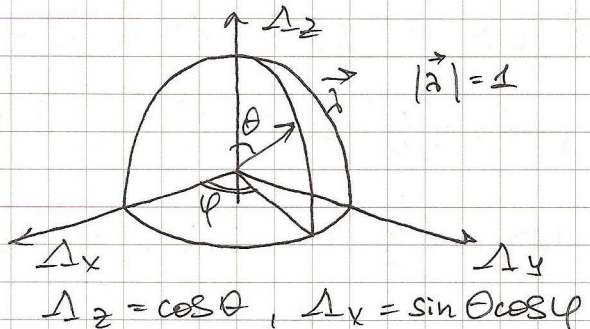
$$\langle \Psi | \Psi \rangle = 1$$

$$\langle 0 | 0 \rangle = \langle 1 | 1 \rangle = 1$$

$$\langle 0 | 1 \rangle = \langle 1 | 0 \rangle = 0$$

$$|a|^2 + |b|^2 = 1$$

сфера Блоха:



$$\Delta_z = a^* a - b^* b$$

$$\Delta_x = b^* a + a^* b$$

$$\Delta_y = i(a^* b - b^* a)$$

$$\Delta_x^2 + \Delta_y^2 + \Delta_z^2 = 1$$

$$\Delta_z = \cos \theta, \Delta_x = \sin \theta \cos \varphi$$

$$\theta, \varphi \quad |a|^2 + |b|^2 = 1$$

$$\Delta_z = |a|^2 - |b|^2 = \cos \theta$$

$$|a| = \cos \frac{\theta}{2}, |b| = \sin \frac{\theta}{2}$$

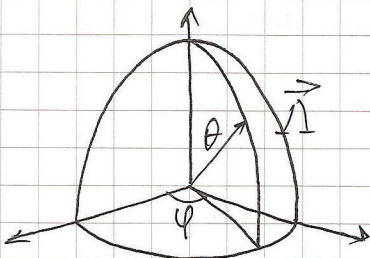
$$|\Psi\rangle = |a| e^{i\varphi a} |0\rangle + |b| e^{i\varphi b} |1\rangle = e^{i\varphi a} (\cos \frac{\theta}{2} |0\rangle + e^{i\varphi \frac{\theta}{2}} \sin \frac{\theta}{2} |1\rangle)$$

$\varphi = \varphi_b - \varphi_a$ — фаза волны.

\Rightarrow cos-е волна на блоковской сфере записывается

$$\text{Как: } |\Psi\rangle = \cos \frac{\theta}{2} |0\rangle + e^{i\varphi} \sin \frac{\theta}{2} |1\rangle$$

28.03.07 — лекция № 8.



$$|\Psi\rangle = a|0\rangle + b|1\rangle$$

$$|\hat{A}| = \sqrt{1}$$

$$\Delta_x <|\Psi|\Psi> = 1 \quad |a|^2 + |b|^2 = 1$$

$$|\Psi\rangle = \cos\frac{\theta}{2}|0\rangle + e^{i\varphi}\sin\frac{\theta}{2}|1\rangle$$

$$R_x(\theta) = \cos\frac{\theta}{2} \hat{I} - i\sin\frac{\theta}{2} \hat{X} \quad \hat{X} = \begin{pmatrix} 0 & 1 \\ 1 & 0 \end{pmatrix}$$

\hat{X} = NOT — оператор поворота на NOT!

\hat{I} — единичное ядро.

$$\hat{X}|0\rangle = |\downarrow\rangle \hat{X}|\downarrow\rangle = |0\rangle$$

$$|0\rangle = \begin{pmatrix} 1 \\ 0 \end{pmatrix} = \begin{pmatrix} 1 & 0 \\ 0 & 0 \end{pmatrix}, \quad \hat{Z}|0\rangle = |0\rangle$$

$$|\downarrow\rangle = \begin{pmatrix} 0 \\ 1 \end{pmatrix}, \quad \hat{Z}|\downarrow\rangle = -|\downarrow\rangle$$

$$R_y(\theta)$$

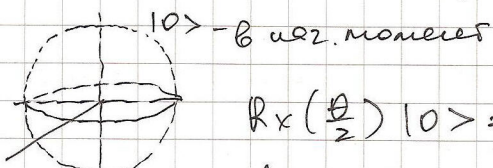
Вращение вокруг оси z
по правилам симметрии.

оператор поворота:

$$R_y(\theta) = \cos\frac{\theta}{2} \hat{I} - i\sin\frac{\theta}{2} \hat{Y} \quad y = \begin{pmatrix} 0 & -i \\ i & 0 \end{pmatrix} \quad \text{норм.}$$

$$R_z(\theta) = \cos\frac{\theta}{2} \hat{I} - i\sin\frac{\theta}{2} \hat{Z} \quad z = \begin{pmatrix} 1 & 0 \\ 0 & -1 \end{pmatrix} \quad \text{норм.}$$

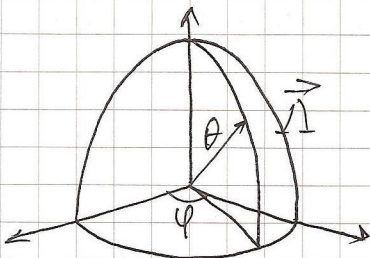
Убедимся, что R_x — оператор поворота:



$$R_x\left(\frac{\theta}{2}\right)|0\rangle = \left(\cos\frac{\theta}{4} \hat{I} - i\sin\frac{\theta}{4} \hat{X}\right)|0\rangle = \frac{1}{\sqrt{2}}(|0\rangle - i|1\rangle)$$

$$|\Psi\rangle = \cos\frac{\theta}{2}|0\rangle + e^{i\varphi}\sin\frac{\theta}{2}|1\rangle$$

28.03.07 — лекция № 8.



$$|\Psi\rangle = a|0\rangle + b|1\rangle$$

$$|\vec{A}| = \ell$$

$$\Delta_x <|\Psi|\Psi> = 1 \quad |a|^2 + |b|^2 = 1$$

$$|\Psi\rangle = \cos\frac{\theta}{2}|0\rangle + e^{i\varphi} \sin\frac{\theta}{2}|1\rangle$$

$$R_x(\theta) = \cos\frac{\theta}{2}\hat{I} - i\sin\frac{\theta}{2}\hat{X} \quad \hat{x} = \sigma_x = \begin{pmatrix} 0 & 1 \\ 1 & 0 \end{pmatrix}$$

\hat{X} = НОР — оператор поворота в НОР!

\hat{I} — единичное изображение.

$$\hat{X}|0\rangle = |\downarrow\rangle \hat{X}|\downarrow\rangle = |0\rangle$$

$$|0\rangle = \begin{pmatrix} 1 \\ 0 \end{pmatrix} = \begin{pmatrix} 1 & 0 \\ 0 & 0 \end{pmatrix}, \quad \hat{z}|0\rangle = |0\rangle$$

$$|\downarrow\rangle = \begin{pmatrix} 0 \\ 1 \end{pmatrix}, \quad \hat{z}|\downarrow\rangle = -|\downarrow\rangle$$

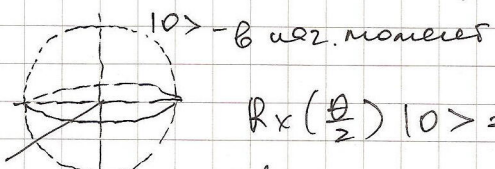
$$R_y(\theta)$$

оператор поворота:

$$R_y(\theta) = \cos\frac{\theta}{2}\hat{I} - i\sin\frac{\theta}{2}\hat{Y} \quad y = \begin{pmatrix} 0 & -i \\ i & 0 \end{pmatrix} \quad \text{норм.}$$

$$R_z(\theta) = \cos\frac{\theta}{2}\hat{I} - i\sin\frac{\theta}{2}\hat{z} \quad z = \begin{pmatrix} 1 & 0 \\ 0 & -1 \end{pmatrix} \quad \text{Паралл.}$$

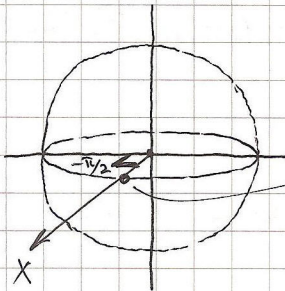
Убедимся, что R_x — оператор поворота:



$$R_x\left(\frac{\theta}{2}\right)|0\rangle = \left(\cos\frac{\theta}{4}\hat{I} - i\sin\frac{\theta}{4}\hat{X}\right)|0\rangle =$$

$$= \frac{1}{\sqrt{2}}(|0\rangle - i|\downarrow\rangle)$$

$$|\Psi\rangle = \cos\frac{\theta}{2}|0\rangle + e^{i\varphi} \sin\frac{\theta}{2}|\downarrow\rangle$$



$$y = -\frac{u}{2}$$

$$|\Psi\rangle = \frac{1}{\sqrt{2}} (|0\rangle + |1\rangle)$$

в 1-м кв. момент времени все
единичные пересекающиеся в
точке состояния.

Перед тем, как рассмотреть экспериментальное
реализацию, введем еще одно представление
о вращении набора:

$$R_x(\theta) = e^{-i\frac{\theta}{2}\hat{x}}; R_y(\theta) = e^{-i\frac{\theta}{2}\hat{y}}; R_z(\theta) = e^{-i\frac{\theta}{2}\hat{z}}$$

Описываемое представление удобнее.

Покажем:

$$\begin{aligned} e^{i\frac{\theta}{2}\hat{x}} &= 1 - \frac{i\theta}{2}\hat{x} + \frac{1}{2!}(-\frac{i\theta}{2})^2\hat{x} + \frac{1}{3!}(-\frac{i\theta}{2})^3\hat{x} + \dots = \\ &= \text{также } \hat{x}^{2n+1} = (\hat{x})^{2n}\hat{x} \} = (1 + \frac{1}{2!}(-\frac{i\theta}{2})^2 + \dots)\hat{I} + \\ &+ (-\frac{i\theta}{2} + \frac{1}{3!}(-\frac{i\theta}{2})^3 + \dots)\hat{x} = \cos \frac{\theta}{2}\hat{I} - i \sin \frac{\theta}{2}\hat{x} \end{aligned}$$

[Понятие динамики: времена Дендрита за разные
периоды кв. момента вращения (1000 кв. диска?!)]

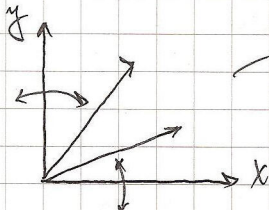
Различные реализации индивидуальных операций:

Поворот струны генерируется при помощи двух молей:

1)-ст: неподвижное: $\vec{B}_0\vec{e}_z$, $|\vec{e}_z|=1$, $B_0=\text{const}$

2)-ст: неподвижное: $\vec{B}_1(t)\vec{e}_x$ капризно, с помощью
катушки с нас./
неподвижным якорем.

$$\vec{B}_S(t) = 2B_{S0} \cos\omega t \hat{e}_x = B_{S0}(\cos\omega t \hat{e}_x + \sin\omega t \hat{e}_y) + \\ + B_{S0}(\cos\omega t \hat{e}_x - \sin\omega t \hat{e}_y)$$



одно ионе движется вращающейся влево, гравитация - направо
⇒ ион движется вращающейся вправо из стороны.

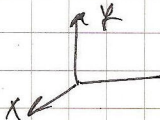
$$H = -\mu_B \vec{B} - \text{некоторые взаимодействия} \\ (\text{недоказанные пока})$$

$$\frac{d\vec{p}_S}{dt} = -\frac{2M_B}{\hbar} \vec{S} \vec{B} = B_0 \mu_B \hat{z} + S_x = \frac{\hbar}{2} \hat{x} + \\ + B_{S0} \mu_B (\cos\omega t \hat{x} + \hat{y} \sin\omega t) \quad \leftarrow S_x = \frac{\hbar}{2} \hat{x}$$

$$2B_0 \mu_B = \hbar \omega_0$$

$$2B_{S0} \mu_B = \hbar \Omega$$

$$\hat{H} = \frac{\hbar \omega_0}{2} \hat{z} + \frac{\hbar \Omega}{2} (\hat{x} \cos\omega t + \hat{y} \sin\omega t) = H_0 + V(t)$$



Двухчастотное поле с угловой скоростью Ω :

$$i\hbar \frac{\partial |\Psi\rangle}{\partial t} = \hat{H} |\Psi\rangle$$

$$|\Psi(0)\rangle$$

$$|\Psi(t)\rangle = e^{i\frac{\omega t}{2}\hat{z}} |\Psi(0)\rangle$$

$$|\Psi(t)\rangle = e^{-i\frac{\omega t}{2}\hat{z}} |\Psi(0)\rangle$$

$$\frac{i\hbar\omega}{2} \hat{z} e^{-i\frac{\omega t}{2}\hat{z}} (\Psi(0)\rangle + e^{-i\frac{\omega t}{2}\hat{z}} i\hbar \frac{\partial |\Psi\rangle}{\partial t}) = \\ = \hat{H} e^{-i\frac{\omega t}{2}\hat{z}} |\Psi\rangle$$

$$i\hbar \frac{\partial |\Psi\rangle}{\partial t} = \frac{\hbar(\omega_0 - \omega)}{2} \hat{z} |\Psi\rangle + e^{i\frac{\omega t}{2}\hat{z}} \vee e^{-i\frac{\omega t}{2}\hat{z}} |\Psi\rangle$$

$$\frac{\partial |\Psi\rangle}{\partial t} = -i \frac{(w_0 - w)}{2} \hat{z} |\Psi\rangle - \left(\frac{i\omega}{2} \right) e^{i\frac{\omega t}{2}} \hat{z} (\hat{x} \cos \omega t + \hat{y} \sin \omega t) e^{i\frac{\omega t}{2}} |\Psi\rangle$$

$$e^{i\frac{\omega t}{2}} \hat{y} e^{-i\frac{\omega t}{2}} = \hat{x} \sin \omega t + \hat{y} \cos \omega t$$

$$e^{i\frac{\omega t}{2}} \hat{x} e^{-i\frac{\omega t}{2}} = \hat{x} \cos \omega t - \hat{y} \sin \omega t$$

Соотношения
для симметрии
и антисимметрии
предсказания
изображены

Использовано соотношение $\hat{x}^2 = \hat{y}^2 = 1$:

$$\hat{x}^2 = -i \hat{x}; \quad \hat{y}^2 = i \hat{x}$$

$$\frac{\partial |\Psi\rangle}{\partial t} = i \frac{(w_0 - w)}{2} \hat{z} |\Psi\rangle - \frac{i\omega}{2} \hat{x} |\Psi\rangle$$

Уравнение Ш-д,
коэффициент
пропорциональности
имеет одинаковую
значение

$$|\Psi(t)\rangle = e^{-i \left[\frac{(w_0 - w)}{2} \hat{z} + \frac{i\omega}{2} \hat{x} \right] t} |\Psi(0)\rangle$$

$$1) B_{x0} = 0; \quad w = 0; \quad 0 = \sqrt{2} \alpha B_{x0}$$

$$|\Psi(t)\rangle = e^{-i \frac{w_0 t}{2}} |\Psi(0)\rangle$$

Безразличие вида
изначального состояния.

Выведено среднее значение, но для квантового
взаимодействия:

$$\text{уаз.косинус}: \quad |\Psi(0)\rangle = \frac{|0\rangle + |1\rangle}{\sqrt{2}}$$

$$w_0 = \frac{2B_0 \mu_B}{\hbar}$$

$$\text{Безразличие измерения}: \quad \langle S_z \rangle_{t=0} = \frac{\hbar}{2} \langle \hat{z} \rangle_{t=0} = 0$$

$$\langle S_x \rangle_{t=0} = \frac{\hbar}{2} \langle \hat{x} \rangle_{t=0} = \frac{\hbar}{2} - \text{измерение, это}$$

Безразличие измерения
анти-квантовое значение
известно из соображений симметрии.

[Т.к. \hat{x} - оператор НОР: переворачивает зеркало,
изменяя ее значение].

$\langle S_y \rangle_{t=0} = 0$ - ве так вопрос, зона выше
сама.

\Rightarrow вектор сумма 2-х 2-х. моментов времени
направлен вдоль оси X.

$$|\Psi(t)\rangle = \frac{|0\rangle + |1\rangle}{\sqrt{2}} \cos \frac{\omega t}{2} + i \frac{|0\rangle - |1\rangle}{\sqrt{2}} \sin \frac{\omega t}{2}$$

Чан. поп-ны, вынужденное сползне X:

$$\langle X \rangle_t = \left[\frac{|0\rangle + |1\rangle}{\sqrt{2}} \cos \frac{\omega t}{2} + i \frac{|0\rangle - |1\rangle}{\sqrt{2}} \sin \frac{\omega t}{2} \right] \cdot$$

$$\cdot \left[\frac{|0\rangle + |1\rangle}{\sqrt{2}} \cos \frac{\omega t}{2} - i \frac{|0\rangle - |1\rangle}{\sqrt{2}} \sin \frac{\omega t}{2} \right] =$$

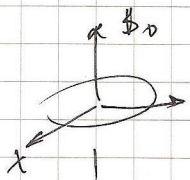
$$= \text{funcn. } \hat{X}(0) = |1\rangle, \hat{X}(1) = |0\rangle \} =$$

= 1/2.0 бе моменты проекции саму Y =

$$= \cos^2 \frac{\omega t}{2} - \sin^2 \frac{\omega t}{2} = \cos \omega t.$$

Аналогично, $\langle y \rangle_t = \sin \omega t$

Чему соответствует это результат?



- среднее значение проекции спина
вращается вокруг оси Z с чистой
скоростью ω_0 .

Картина пересечения векторов нап-л час. мом.

[Кстати, это определяет вращение уг-
лов в 2-х вращающихся базах в 3-х из-л, X-20
разе.]

$$2) \omega = \omega_0 \text{ [резонанс]} : \omega = 10^8 \frac{1}{\text{сн}}$$

$$|\Psi(t)\rangle = e^{-i\left[\frac{\omega_0 - \omega}{2}\hat{z} + \frac{\Omega}{2}\hat{x}\right]t} |\Psi(0)\rangle$$

$$\Rightarrow \text{где резонанса: } |\Psi(t)\rangle = e^{-i\frac{\Omega t}{2}\hat{x}} |\Psi(0)\rangle$$

ЗАМЕЧАНИЕ: В соответствии с алгоритмом, какую-либо генерацию можно перевернуть, в то же время, все основное должно оставаться без изменения \Rightarrow тоже должно действовать только на один генератор! — это обще правило. В процессах когерентных это реализуется исп. спинов с различными Ψ -функциями (зависим. от ориентации).

+ Куда исчезают ограничения на измерение различных возбуждений (им. большое число состояний свободы) \Rightarrow нельзя запутать волны. Ψ -но \rightarrow исп. н-уя и потери.

+ процедура измерения волн. тоже в условиях резонанса

} НА СЛЕД. ЛЕКЦИИ.

04.04.07 — лекция № 9.

Время D-когерентизацию квадта.

$| \Psi \rangle = a | 0 \rangle + b | 1 \rangle$ — некое состояние ($\equiv c$ заданные векторы).

Временное изменение состояния $\dot{\psi}$ находим из $i\hbar \frac{d|\Psi\rangle}{dt} = \hat{H}|\Psi\rangle$

А можно ли находит $\dot{\psi}$ из временного конъюнктура a и b , не знаяс. ог временн. [?]

Когда есть определенные начальные условия для задачи соединения

$$i\hbar \left(\frac{da}{dt} | 0 \rangle + \frac{db}{dt} | 1 \rangle \right) = \hat{H} (a | 0 \rangle + b | 1 \rangle)$$

• имеем. следа на $\langle 0 |$, $\langle 1 |$.

$$\text{т.ч. } \langle 0 | a = 1, \langle 0 | b = 0.$$

$$i\hbar \frac{da}{dt} = a \langle 0 | \hat{H} | 0 \rangle + b \langle 0 | \hat{H} | 1 \rangle$$

$$i\hbar \frac{db}{dt} = a \langle 1 | \hat{H} | 0 \rangle + b \langle 1 | \hat{H} | 1 \rangle$$

$$H = H_0 + V$$

$$H_0 | 0 \rangle = E_0 | 0 \rangle, H_0 | 1 \rangle = E_1 | 1 \rangle - \text{одозу.}$$

$$i\hbar \frac{da}{dt} = a E_0 + b V_{01}$$

$$i\hbar \frac{db}{dt} = b E_1 + a V_{10}$$

$$\begin{cases} \frac{da}{dt} = -\frac{iE_0}{h} a - \frac{1}{h} V_{01} b \quad (1) \\ \frac{db}{dt} = -\frac{iE_1}{h} b - \frac{iV_{10}}{h} a \quad (2) \end{cases} \quad \begin{cases} \rho_{01} = b^* a \\ \rho_{10} = a^* b \end{cases}$$

a, b - не операторы,
а числа!

Начальные и начальные нормализации.

Задаем форму $\frac{b^* \cdot (1)}{(2) \cdot a^*} \oplus \Rightarrow$

$$\Rightarrow \boxed{\frac{d\rho_{01}}{dt} = -\frac{i(E_0 - E_1)}{h} \rho_{01} + \frac{iV_{01}}{h} (\rho_{00} - \rho_{11})}$$

$$a^* \cdot | \quad \frac{da}{dt} = -\frac{iE_0}{h} a - \frac{iV_{01}}{h} b,$$

$$\oplus \quad \frac{da^*}{dt} = \frac{iE_0}{h} a^* + \frac{iV_{10}}{h} b^* | \cdot a$$

$$\frac{d\rho_{00}}{dt} = \frac{i}{h} (V_{10} \rho_{01} - V_{01} \rho_{10})$$

$$\rho_{00} + \rho_{11} = a^* a + b^* b = 1 \quad [\text{получим единицу}]$$

$$\rho_{00} - \rho_{11} = 0 \quad [\text{или нулевая разница} \equiv \text{получим ненулевое значение}] \Rightarrow$$

$$\Rightarrow \rho_{00} = \frac{1}{2} + \frac{1}{2}$$

Представляем ρ_{00} в виде 2. сп-е \rightarrow 4-е град:

$$\begin{cases} \frac{dD}{dt} = \frac{2i}{h} (V_{10} \rho_{01} - V_{01} \rho_{10}) & \text{затем делим на 2;} \\ \frac{d\rho_{01}}{dt} + \omega_{01} \rho_{01} = \frac{iV_{01}}{h} \Rightarrow & \rho_{10} = \rho_{01}^* \end{cases}$$

В конечном итоге: $H_0|0\rangle = B_0|\mu_0 - 10\rangle$
 $H_0|1\rangle = -B_0|\mu_0 - 11\rangle$

$$E_0 = B_0 \mu_B, E_1 = -B_0 \mu_B$$

$$V = B_0 \mu_B (\hat{x} \cos \omega t + \hat{y} \sin \omega t)$$

С наложением DCS где не зеров.

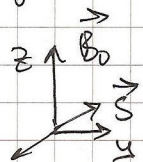
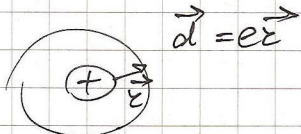
\Rightarrow В сущест. взаимодействии электрона

с фн.-магн. полем где гвыхчровы. атомы!

$$V = -\vec{d} \cdot \vec{E}$$

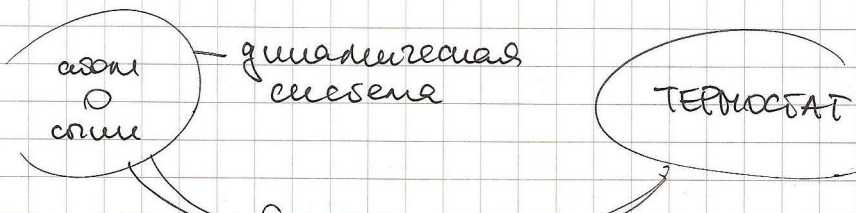
$$V_{so} = -\vec{d}_{so} \cdot \vec{E}, \dots$$

$$\vec{d}_{so} = e \int q_s^* e \chi_0 d\vec{r} \quad (\text{состоит из-за симметрии} \quad \text{где электрона в атоме})$$



Теперь \vec{d} -и симметричные состояния.

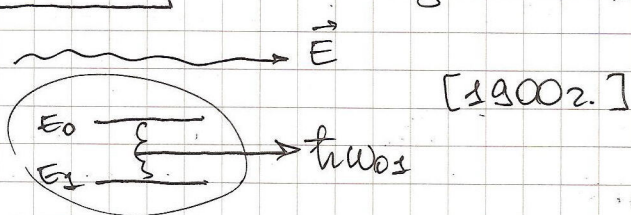
Окружение = открытая система с большим числом собственн. свободой.



Взаимодейств.

(изменение энергии в сист-е малой и пренебр. масо, чтобы под-т ви сист-е большей с-ности)

ПРИМЕР: [Взаимодействие]



Единич. $-\vec{d} \cdot \vec{E}_{\text{реак.}}$ = Взаимод-е

Вибігання в чистоелектрическому взаємодействії з термо-
статором:

$$H = H_0 + V + W(\infty)$$

гук.

sec. рівно стиснені
ободогір

$$\frac{d\bar{\rho}_{01}}{dt} \neq i\omega_{01}\bar{\rho}_{01} = \frac{\omega_{01}}{h} \Delta + i\omega_{01} (\text{гук.} \rightarrow \text{терм.}) \Delta$$

згенероване ускривлення:

$$\frac{d\bar{\rho}_{01}}{dt} + i\omega_{01}\bar{\rho}_{01} = \frac{\omega_{01}}{h} \Delta + i\omega_{01} (\text{гук., терм.}) \Delta$$

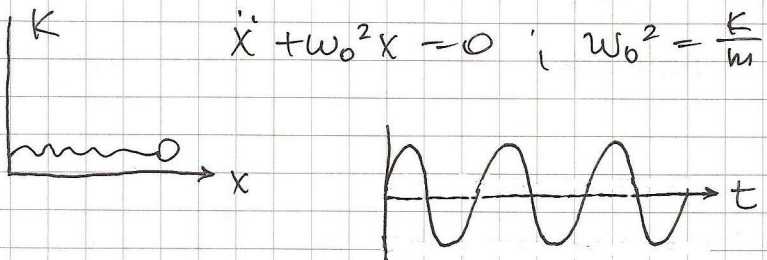
згенероване спрингове:

$$\frac{d\bar{\rho}_{01}}{dt} + i\omega_{01}\bar{\rho}_{01} = \frac{\omega_{01}}{h} \Delta + i\omega_{01} (\text{гук., терм.}) \Delta -$$

(4)

- загальна відпов. статистическої механіки.

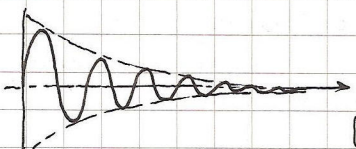
Чтоб отримати результації, вибігання аналогічне
малюнку:



$$\text{Після багатьох } \rightarrow \ddot{x} + 2\delta\dot{x} + \omega_0^2 x = 0.$$

δ - коеф., характер. тривал.

Торза:



- забивання свого кер.
сост-я из-за дисперсії.

[Здесь аналогія з
термосесією]

$$\Rightarrow \rho_{01}(t) = \rho_{01}(0) e^{-i\omega_0 t}$$

$$\text{F.O. : } \frac{d\bar{\rho}}{dt} + \omega_{01} \bar{\rho}_{01} + \frac{1}{T_2} \bar{\rho}_{01} = \frac{i V_{01}}{\hbar} \bar{\sigma}$$

$$\bar{\rho}_{01} = \overline{B^* a} \quad \begin{pmatrix} \rho_{00} & \rho_{01} \\ \rho_{10} & \rho_{11} \end{pmatrix} - \text{матрица} \text{ ненулевом.}$$

$$\frac{d\bar{\sigma}}{dt} + \frac{1}{T_1} (\bar{\sigma} - \bar{\sigma}^*) = \frac{2i}{\hbar} (V_{10} \bar{\rho}_{01} - V_{01} \bar{\rho}_{10})$$

T_1 - Время релаксации неспинового (гл. 71-га).

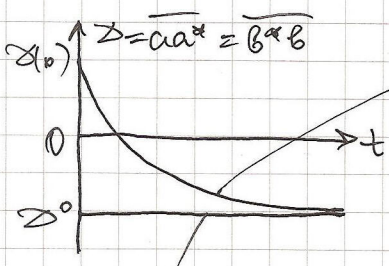
ЗАМЕЧАНИЕ: Все вычисления на квантовом компьютере гл. 5. заменяются за время $\ll T_2$.

Но же, вычисление произведено будет невозможно.

Поправим $V_{01} = 0$, т.к. неизвестно;

$$\frac{d\rho_{01}}{dt} + i\omega_{01} \rho_{01} + \frac{1}{T_2} \rho_{01} = 0$$

$$\rho_{01}(t) = \rho_{01}(0) e^{-i\omega_0 t - \frac{t}{T_2}} = |\rho_{01}(0)| e^{i\phi(0) - i\omega_0 t - \frac{t}{T_2}}$$



Спонтанный переход из кв. состояния в равновесное за характерный временной релаксации гл. 71-го (T₂)

равновесная населенность — обратн. к. к. врем. неспин-го состояния. Идеал. случай когда в начальном равновесном состоянии больше.

$$V_{01} = 0 = V_{10}.$$

$T_2 \leq T_1$ (бюджет-но $T_2 \ll T_1$) — все это имеет, кроме за-
кона сохранения блокового веса.

На $t < T_2$ ($t \ll T_2$) уравнение дифференциальное заб-но с
 временным параметром переходом:

$$\begin{aligned} \rho_{os}(t) &= \tilde{\rho}_{os} e^{-i\omega_{os} t} \\ V_{os} &= \tilde{V}_{os} e^{-i\omega_{os} t} \end{aligned} \quad) \quad \omega = \omega_{os}$$

[нагружение блоков
сигнал реального
рессонанса]

\Rightarrow б "независимых" неравн-тих:

$$\left\{ \begin{array}{l} \frac{d\tilde{\rho}_{os}}{dt} = \frac{i\tilde{V}_{os}}{\hbar} \Delta_1 \\ \frac{d\Delta}{dt} = -\frac{2i}{\hbar} (\tilde{V}_{os}\tilde{\rho}_{so} - \tilde{V}_{so}\tilde{\rho}_{os}) \end{array} \right.$$

Быстро знако сохранения:

$$\frac{d}{dt} (\tilde{\rho}_{so}\tilde{\rho}_{os}) = \frac{1}{\hbar} (\tilde{V}_{os}\tilde{\rho}_{so} - \tilde{V}_{so}\tilde{\rho}_{os}) \quad (1)$$

$$\frac{d}{dt} \Delta^2 = -\frac{4i}{\hbar} (\tilde{V}_{os}\tilde{\rho}_{so} - \tilde{V}_{so}\tilde{\rho}_{os}) \quad (+)$$

$$\Rightarrow \frac{d}{dt} (\Delta^2 + 4\tilde{\rho}_{os}\tilde{\rho}_{so}) = 0 \quad - \text{закон сохранения}$$

Матрица поглощения: $\Delta^2 + 4\tilde{\rho}_{os}\tilde{\rho}_{so} = \text{const}$

Блоковый вес: $\lambda_k, \lambda_g, \lambda_z$

Напр., λ_z в наборах обозначениях: $\lambda_z = \rho_{00} - \rho_{zz} = 2$

$$\text{и.поглаж.}, \text{т.к. } \lambda_x^2 + \lambda_y^2 = 4\tilde{\rho}_{os}\tilde{\rho}_{so} \Rightarrow$$

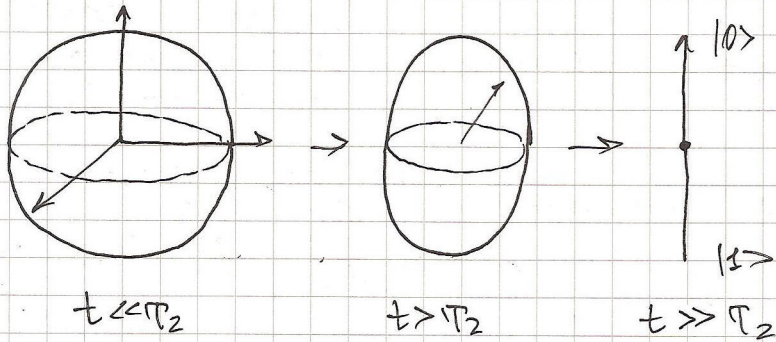
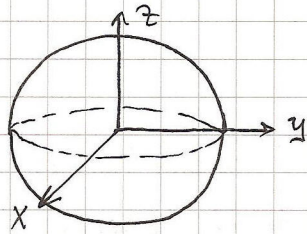
$$\Rightarrow \lambda_z^2 + \lambda_x^2 + \lambda_y^2 = \text{const} \quad (=1, \text{ т.к. } \Delta=1 \text{ в } \text{н.поглаж.})$$

Всё это является смыслом на временных \ll

\ll временные поглаж. непрерывности: $t \ll T_2$.

А что будет происходить с избыточным количеством момента вращения T_2 ?

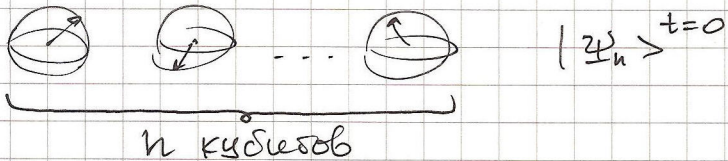
$$\tilde{\rho}_{\text{ос}} \tilde{\rho}_{\perp 0} = \lambda_x^2 + \lambda_y^2$$
$$\sqrt{\lambda_x^2 + \lambda_y^2} \propto e^{-\gamma T_2}$$



\Rightarrow при $t \gg T_2$ квадратичный куб преобразуется в классический сфер с звезда состоянием 1 и 0.

Квантовое измерение

Генератор квантового компьютера:



Носат защищал наэ. состояния, в соответствии с принципом, как генерир. исследованы промеж-с
 преобразований \rightarrow наэ. конечное состояние:

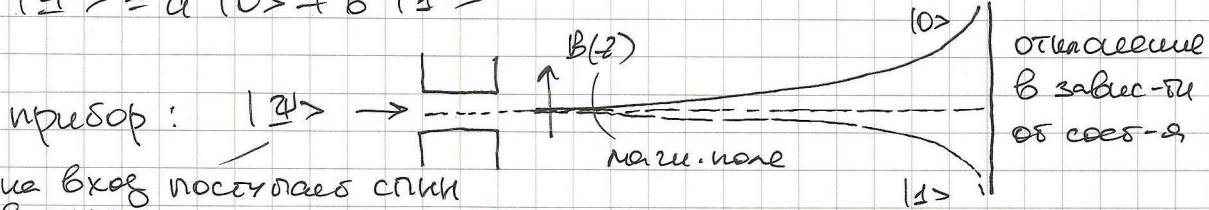


На этом заканчивается предварительное кванто-
вое механизма, поскольку теперь можно нач-ть
составлять из кубиков полученный результат. ≡
≡ ТЕОРИЯ ИЗМЕРЕНИЙ

При создании носителя было проще использовать для
описания экспериментально наблюдаемых
фотоны

Требуется измерить суперпозиционное состоян.:

$$|\Psi\rangle = a |0\rangle + b |1\rangle$$



на выход поступает спин
в суперпозиционное состоян.

В случае сине-красного спектра, отклонение будет
произвольное!

→ Произв. N экспериментов:

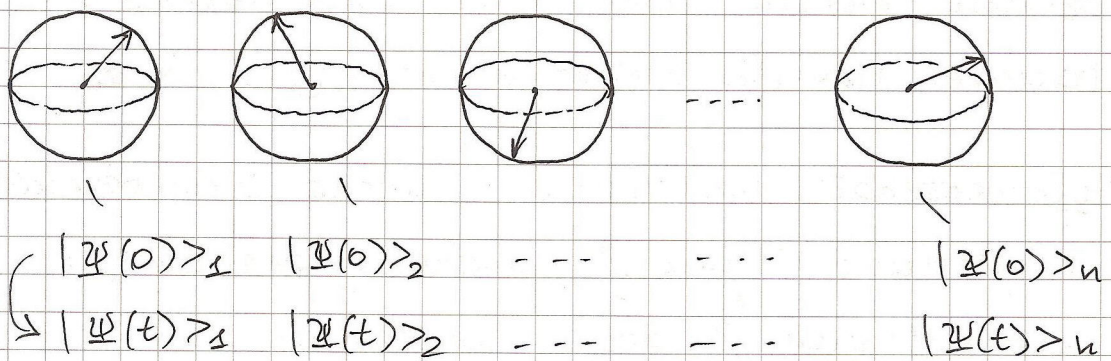
$$|0\rangle : N_0 \quad N_0 + N_1 = N$$

$$|1\rangle : N_1$$

$$\text{С оказывается}, \text{что} \frac{N_0}{N} = |\alpha|^2, \frac{N_1}{N} = |\beta|^2$$

ЗАМЕЧАНИЕ: Распространение статистической
особенности квантовой системы! В недавнем м.бывш
ОГРОМНОЕ количество информации, но в результате
измерений удаётся извлечь только одну единицу: ((
→ огромные потери информации. Несмотря на
это, имеющиеся алгоритмы с технологией выигры-
шем по сравнению с классическими компю-
терами.

11.04.07 — лекция № 10



Измерительный базис. Выбор измеримого базиса.

Базис — собственные векторы оператора измерений.

Оператор измерения — оператор смысла, который входит в гамильтониан произведения с полной переменной.

$$\begin{array}{c}
 \hat{B}_z \\
 \uparrow \\
 B_z \\
 \hline
 \end{array}
 \quad
 \begin{array}{c}
 \hat{\psi} \\
 \uparrow \\
 |\psi\rangle \\
 \hline
 \end{array}
 \quad
 H = -\mu_z B_z = \hat{z} \mu_B B$$

$$\hat{z}|0\rangle = +1|0\rangle, \hat{z}|1\rangle = -1|1\rangle$$

$$|\psi\rangle = a|0\rangle + b|1\rangle$$

$$|a|^2 \rightarrow |0\rangle, |b|^2 \rightarrow |1\rangle, |a|^2 + |b|^2 = 1.$$

Этот получает измерение: В начальном измерении с вероятностью $|a|^2$ наше заряд со звуком 0.

Несколько на ограждение можно создавать однокомпонентного бора, изображение которого можно нарисовать ибо оно вида

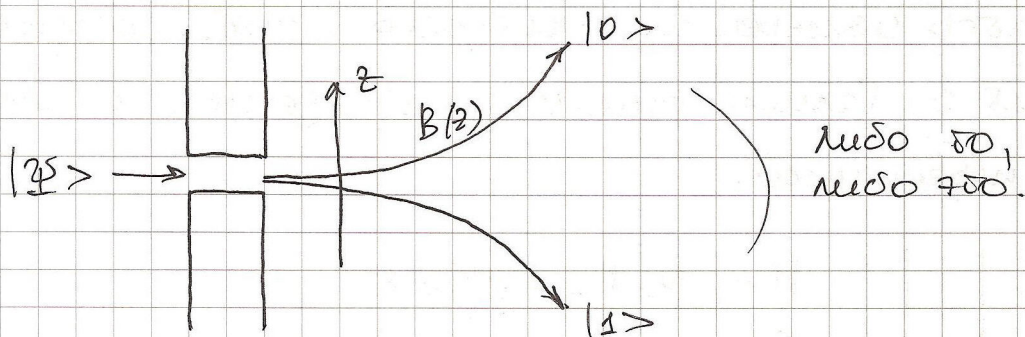
2-ого поступаю изображение: после изображения и оно же в виде σ или τ , можно сделать что-то
такое оно же в виде σ или τ можно создавать.

Чтобы воссоздавать $\sigma \cup \tau \rightarrow N$ изображение:

$$N_a |0\rangle \quad |\alpha|^2 = \lim_{N \rightarrow \infty} \frac{N_a}{N}$$

$$N_B |1\rangle \quad |\beta|^2 = \lim_{N \rightarrow \infty} \frac{N_B}{N}$$

Аксиоматика:

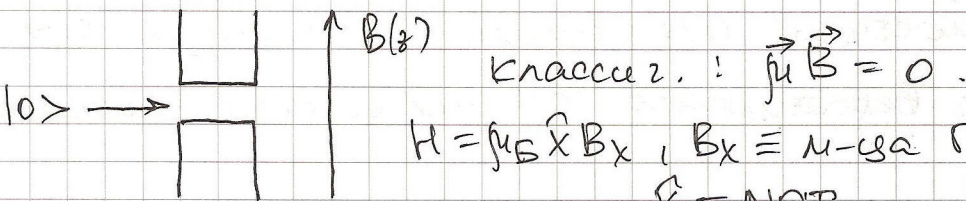


$$\hat{\chi}|0\rangle, |1\rangle$$

Пусть для определенности,

$$|\Psi\rangle = \alpha|0\rangle + \beta|1\rangle \quad \text{содержащее } \beta|0\rangle$$

$$\hat{\chi}|0\rangle = +\hat{\chi}|0\rangle \quad \mu_2 = \mu_B, S_2 = \frac{1}{2} - \text{магнитный борь}$$



$$H = \mu_B \hat{x} B_x, B_x \equiv \text{н-ва Рамз} \\ \hat{x} = \text{NOT}$$

$$\text{NOT} \begin{pmatrix} c_1 \\ c_2 \end{pmatrix} = \lambda \begin{pmatrix} c_1 \\ c_2 \end{pmatrix} = \begin{pmatrix} c_2 \\ c_1 \end{pmatrix}$$

$$\lambda = +1, c_1 = c_2 = 1; \quad \lambda = -1, c_1 = -c_2 = -1$$

$$|+> = \begin{pmatrix} 1 \\ 1 \end{pmatrix} = \begin{pmatrix} 1 \\ 0 \end{pmatrix} + \begin{pmatrix} 0 \\ 1 \end{pmatrix} = |0> + |1>$$

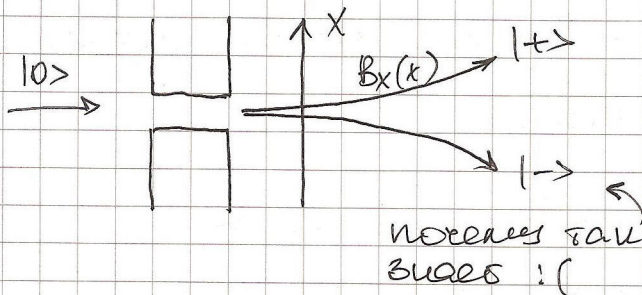
$$|-> = \begin{pmatrix} 1 \\ -1 \end{pmatrix} = \begin{pmatrix} 1 \\ 0 \end{pmatrix} - \begin{pmatrix} 0 \\ 1 \end{pmatrix} = |0> - |1>$$

$$\begin{aligned} & <+1+> = <-1-> = 1 \\ & <+1-> = 0 = <-1+> \end{aligned} \quad) \text{ cases.}$$

$$\begin{aligned} |+\Psi\rangle &= |0> = \frac{1}{\sqrt{2}} \left(\frac{|0> + |1>}{\sqrt{2}} \right) + \frac{1}{\sqrt{2}} \left(|0> - |1> \right) = \\ &= \frac{1}{\sqrt{2}} (|0\Psi> + |1>) \end{aligned}$$

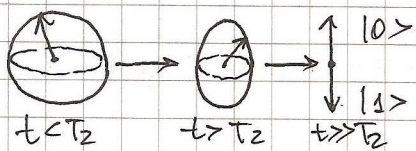
F.O., с вероятностью $\frac{1}{2}$ находим состояния $|+>$
с вероятностью $\frac{1}{2}$ находим состояния $|->$

Что это означает?

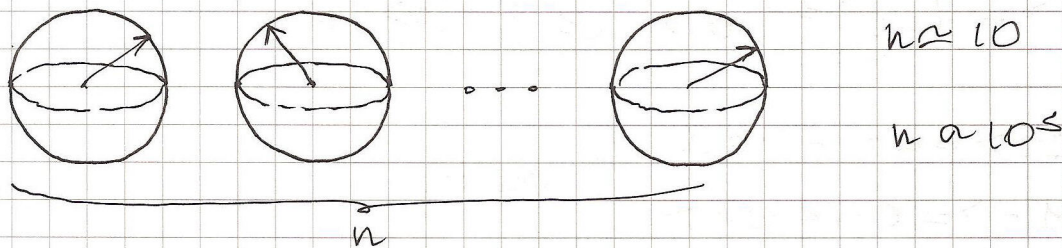


Хотя с точки зрения зернистости результат очевиден, |0> никогда не становится |+> или |-> ! = Оправдание традиционным: процессом, некий из двух :)

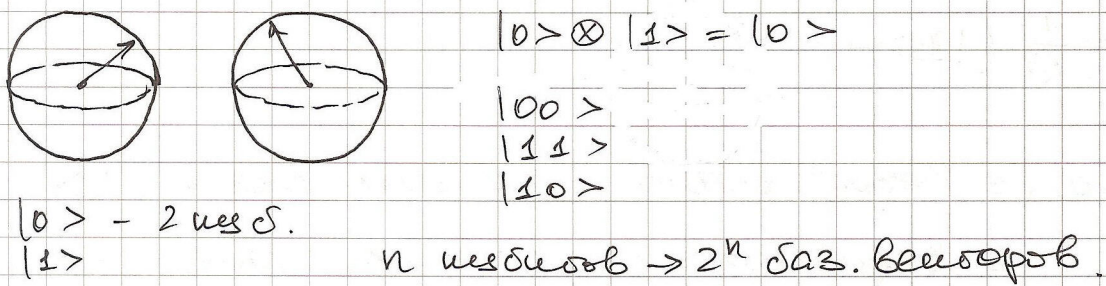
Демонстрируется вспышка:



Безнасущая передача квантовой информации =
 = невозможна незаметно сменить канал ин-
 формации, т.к. измерение блокирует обратимые
 изменения.



Несоб. пересобр. состояния из двух кубиков:



Всё ли принципиальное описание квантового ис-
 буша от классического? = В чём же суть не-
 возможных соединений.

$$|\Psi\rangle = a|00\rangle + b|11\rangle + c|01\rangle + d|10\rangle$$

$$\langle\Psi|\Psi\rangle = 1 ; |a|^2 + |b|^2 + |c|^2 + |d|^2 = 1 .$$

Как выглядит состояние первого кубика и в
 каком оно будет изменено при ведении?

Коле нормиробо $\rightarrow \alpha|0\rangle + \beta|1\rangle$, $|\alpha|^2 + |\beta|^2 = 1$.

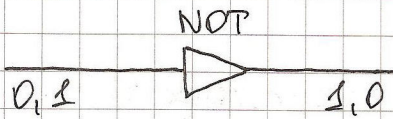
$$|\Psi\rangle = |0\rangle \otimes (\alpha|0\rangle + \beta|1\rangle) + |1\rangle \otimes (\alpha|0\rangle + \beta|1\rangle)$$

Чтобы нормировать:

$$\begin{aligned} \text{если } u = \sqrt{|\alpha|^2 + |\beta|^2}, v = \sqrt{|\alpha|^2 + |\beta|^2} \\ = u|0\rangle \otimes \left(\frac{\alpha|0\rangle + \beta|1\rangle}{u} \right) + v|1\rangle \otimes \left(\frac{\alpha|0\rangle + \beta|1\rangle}{v} \right) \end{aligned}$$

Теперь преобразовали в вектор и виду, к которому неизменно применяемое наложение изменился:

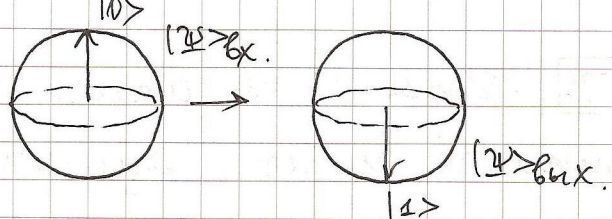
$$\begin{aligned} |u|^2 \rightarrow |0\rangle & \quad |0\rangle, |0\rangle \otimes \frac{\alpha|0\rangle + \beta|1\rangle}{u} = \frac{\alpha|00\rangle + \beta|01\rangle}{u} \\ |v|^2 \rightarrow |1\rangle & \quad |1\rangle, |1\rangle \otimes \frac{\alpha|0\rangle + \beta|1\rangle}{v} = \frac{\alpha|10\rangle + \beta|11\rangle}{v} \end{aligned}$$



$$\hat{x} = \text{NOT} = \begin{pmatrix} 0 & 1 \\ 1 & 0 \end{pmatrix}$$

$$\hat{x} = |0\rangle\langle 1| + |1\rangle\langle 0|$$

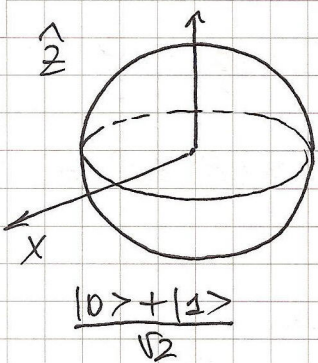
$$\hat{x}|0\rangle = |1\rangle, \hat{x}|1\rangle = |0\rangle$$



"Квантовые провода" = линии, указывающие на след-ство квантовых операторов, при этом время измеряется с left направо.

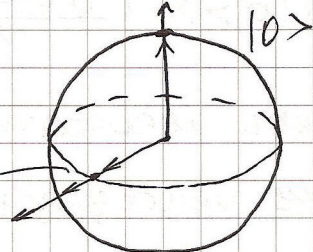
$$\hat{z} = \begin{pmatrix} 1 & 0 \\ 0 & -1 \end{pmatrix} = |0\rangle\langle 0| - |1\rangle\langle 1|$$

$$\hat{z} \left(\frac{|0\rangle + |1\rangle}{\sqrt{2}} \right) = \frac{1}{\sqrt{2}} (|0\rangle - |1\rangle).$$



$$H|0\rangle = \frac{1}{\sqrt{2}}(|0\rangle + |1\rangle)$$

когда компьютер —
состроен, все
числы переворачиваются
оператором Адамара в то же время.

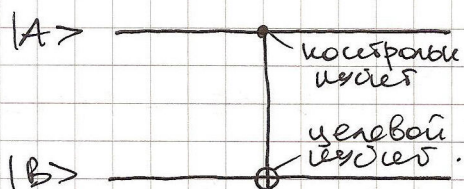


$$\text{Образец: } H \frac{1}{\sqrt{2}}(|0\rangle + |1\rangle) \stackrel{?}{=} 0$$

$$H|1\rangle = \frac{1}{\sqrt{2}}(|0\rangle - |1\rangle)$$

Множество однокубитовых операторов —
КОНТИНУУМ.

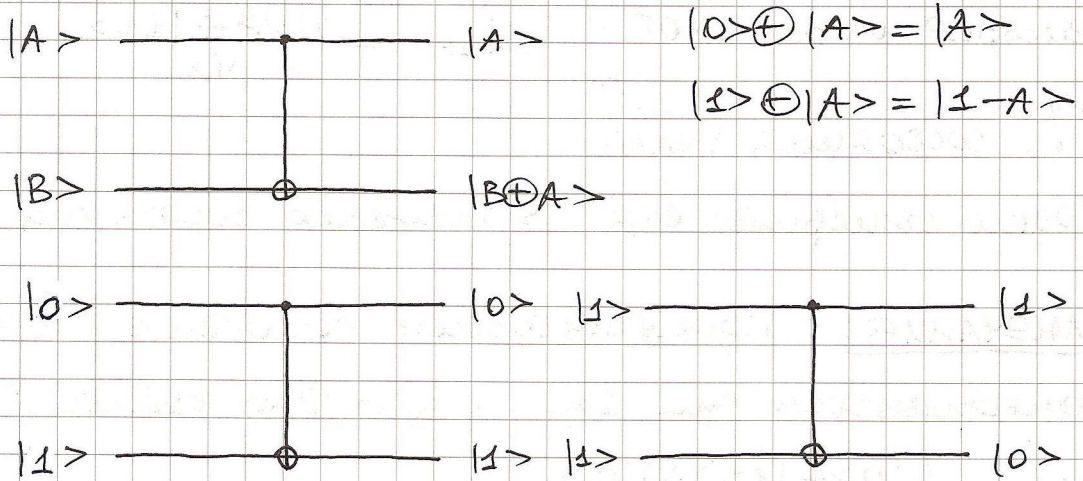
П: Для F кв. алгоритма достаточно
одного набора однокубит. операций и
одного 2-кубитового оператора (для
кассире = СНОУ), с помощью которых
можно реализовать F состояния кубика.



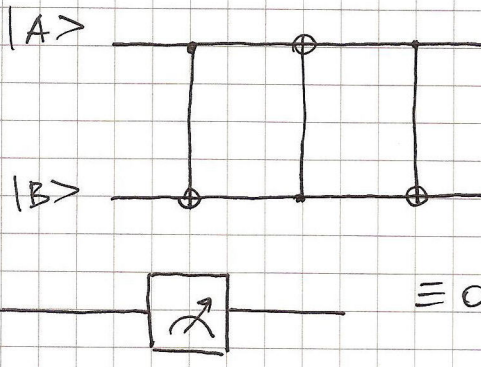
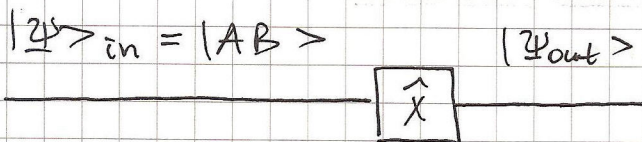
$$\text{СНОУ} = |1\rangle\langle 1| \otimes \text{NOT} +$$

$$+ |0\rangle\langle 0| \otimes \text{I}$$

$$\text{I} = \begin{pmatrix} 1 & 0 \\ 0 & 1 \end{pmatrix} = |0\rangle\langle 0| + |1\rangle\langle 1|$$

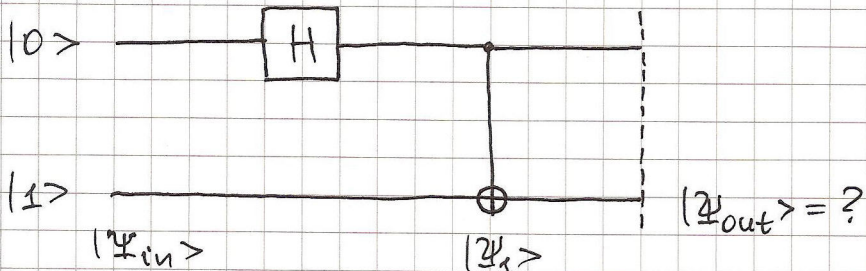


Две схемы:



≡ одновременное измерение.

(1933г.) советский физик - Погольского - Розенберга



$$|\Psi_0\rangle = |00\rangle \quad |\Psi_1\rangle = H|0\rangle = \frac{|0\rangle + |1\rangle}{\sqrt{2}} \otimes |0\rangle = \frac{|00\rangle + |10\rangle}{\sqrt{2}}$$

геймблеу он-па CNOT: $|\Psi_{\text{out}}\rangle = \frac{|00\rangle + |11\rangle}{\sqrt{2}}$

(!) соседнее Бенка

Можно сгенерировать еще 3 новых состояния.

ЗАМЕЧАНИЕ: Продолжение состояния $|\Psi_1\rangle$

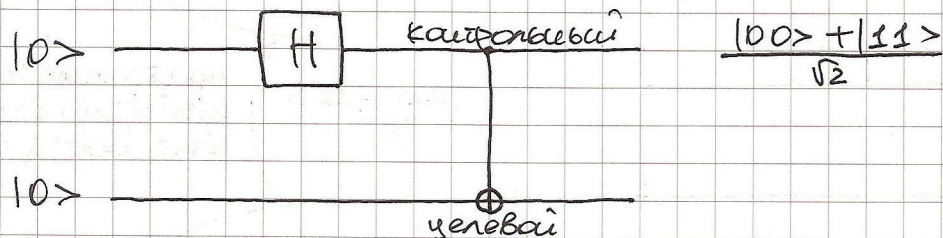
разворачивается как $|10\rangle$ и как $|20\rangle$ 可是:

$|\Psi_1\rangle = \frac{(|0\rangle + |1\rangle) \otimes |0\rangle}{\sqrt{2}}$. Но новое состо-

$|\Psi_{\text{out}}\rangle$ нельзя разворачивать — такие состо-
яния неизменны.

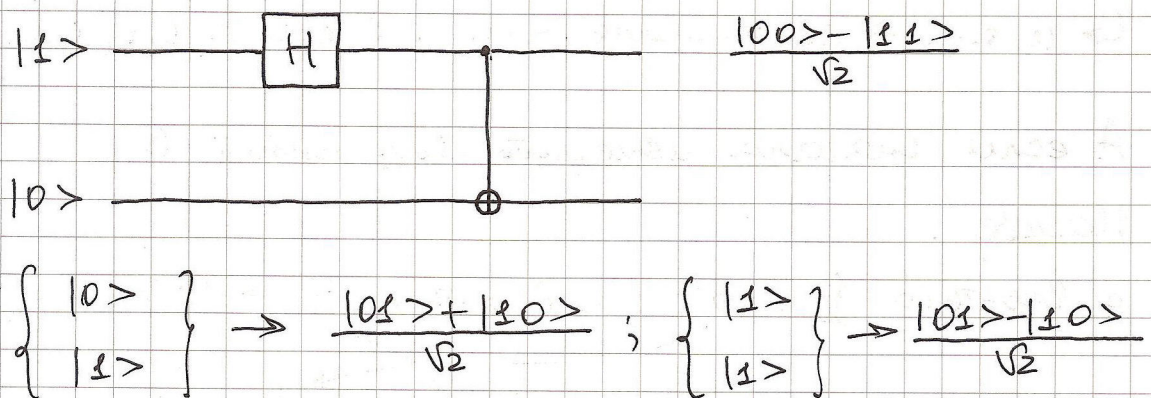
18.04.07 - лекция N

Перемножаемые состояния кванда.



ЗПР \equiv Эйнштейн & Подольский & Розенберг \rightarrow

Понятно, что:



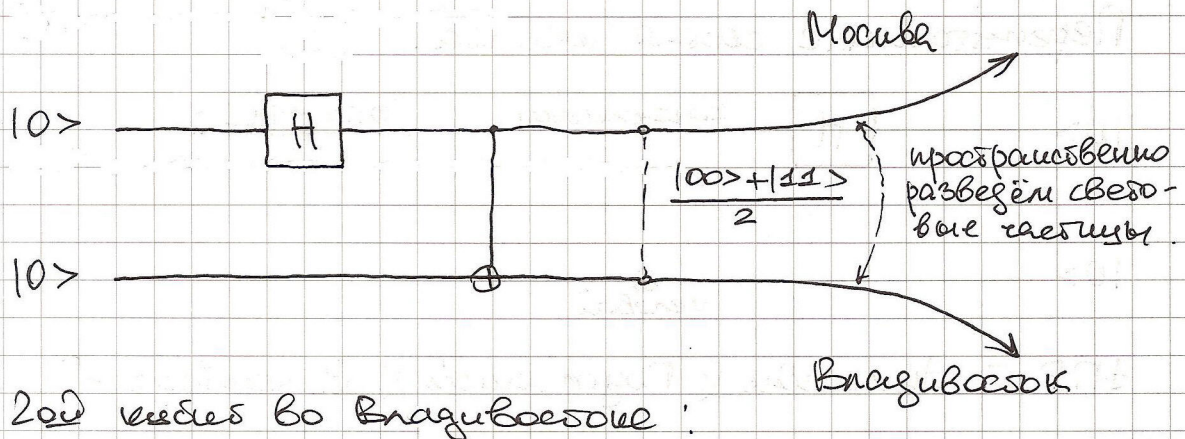
Вот: соседствуют ли квантовые объекты независимо от наблюдения (1) или оба квантовых объекта взаимодействуют только во времени (или переносе) (2).

Еще квантовистика Белла выполняется, то (1), не для (2).

Доказательство такого, что не выполняется.

$$|01\rangle - |10\rangle = |0\rangle \otimes (|1\rangle + |0\rangle)$$

Бозонное состояние : $|45\rangle = \frac{|100\rangle + |111\rangle}{\sqrt{2}}$



2 зоны в Владивостоке :

с вероятн $\frac{1}{2} \rightarrow |0\rangle$; с вероятн $\frac{1}{2} \rightarrow |1\rangle$

\hookrightarrow и т.д. \rightarrow например. след. послед.: 0, 0, 0, 0, 1, 0, 1, 1...

А если измерить один из них в Москве :

с вероятн $\frac{1}{2} \rightarrow |0\rangle$; с вероятн $\frac{1}{2} \rightarrow |1\rangle$

но 2 зоны находятся разные: $|100\rangle = |0\rangle \otimes |0\rangle$
 $|111\rangle = |1\rangle \otimes |1\rangle$

\hookrightarrow Если в Москве измерение произведено

равнное, то в Владивостоке, то результат

один в \nearrow можно спрогнозировать с вероятностью 1! Хотя расчеты не

взаимодействуют. \Rightarrow Парафраз. Назовем

ПРОБЛЕМА НЕЛОКАЛЬНОСТИ квантовой ме-

Ханики.

Всю Венгрию и в. концлагеров - за счет
европейцевских союзников, в основном,
перенесли венгров.

Плотное изображение

С помощью 2 медведя можно передать
2 классических типа изображения.

0 $100 >$

1 $101 > \rightarrow 101 >$

2 $110 >$

3 $(11) >$

$$\log_2 4 = 2,$$

$$\log_2 8 = 3.$$

Андрееве Дара : некий цен. для коррекции -
делил : Бод и Алиса . Доказательство, если есть
тройство, которое создаёт ЭНР - пары !

1-ый медведь сообуз. Боду \rightarrow 2 медведя \rightarrow
2-ой медведь сообуз. Алисе

$$\rightarrow \boxed{\text{ЭНР}} \xrightarrow{\frac{1}{\sqrt{2}}} (100 > + 111 >)$$

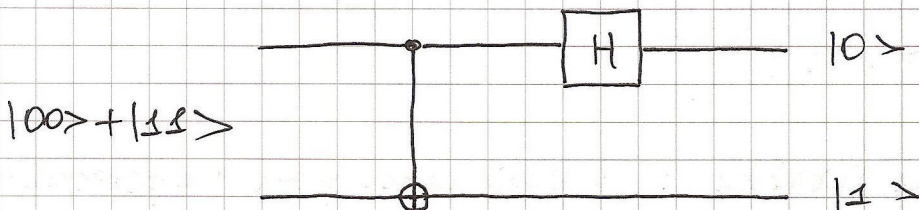
0,1,2,3 - кодировка .

Операцию на стороне Бода :

| | | |
|----------------|------------------|---|
| 0 | \hat{I} | независимость: $ 2\rangle = \frac{ 00\rangle + 11\rangle}{\sqrt{2}}$ |
| 1 | \hat{X} | $ 2\rangle = \frac{ 10\rangle + 01\rangle}{\sqrt{2}}$ |
| 2 | \hat{Z} | $ 2\rangle = \frac{ 00\rangle - 11\rangle}{\sqrt{2}}$ |
| 3 | $\hat{X}\hat{Z}$ | $ 2\rangle = \frac{ 11\rangle - 01\rangle}{\sqrt{2}}$ |
| Базис Берна | | |

сост-я
Берна

После кодирования, второй куббит передаётся Алисе. Производится дешифрование с помощью сканера в оп-раторе Ахмада, но в обратную сторону:

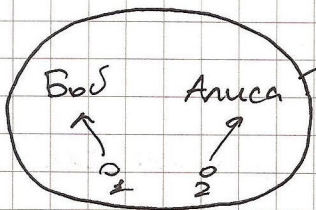


Алиса:

| | | | | |
|---|-------------|---------------------------|---|--------------|
| 0 | $ 0\rangle$ | $ 00\rangle + 10\rangle$ | $(10\rangle + 11\rangle) \otimes 0\rangle$ | $ 00\rangle$ |
| 1 | $ 1\rangle$ | $ 11\rangle + 01\rangle$ | $(11\rangle + 01\rangle) \otimes 1\rangle$ | $ 01\rangle$ |
| 2 | $ 2\rangle$ | $ 00\rangle - 10\rangle$ | $(10\rangle - 11\rangle) \otimes 0\rangle$ | $ 10\rangle$ |
| 3 | $ 3\rangle$ | $ 11\rangle - 01\rangle$ | $(11\rangle - 01\rangle) \otimes 1\rangle$ | $ 11\rangle$ |

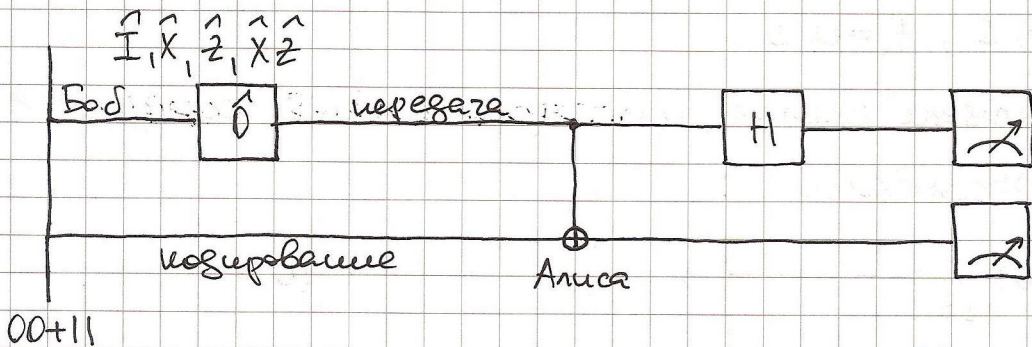
после СНОУ
таким же образом сопровождением

\Rightarrow Передача базис 1 куббита, и 2 базиса шифрования.

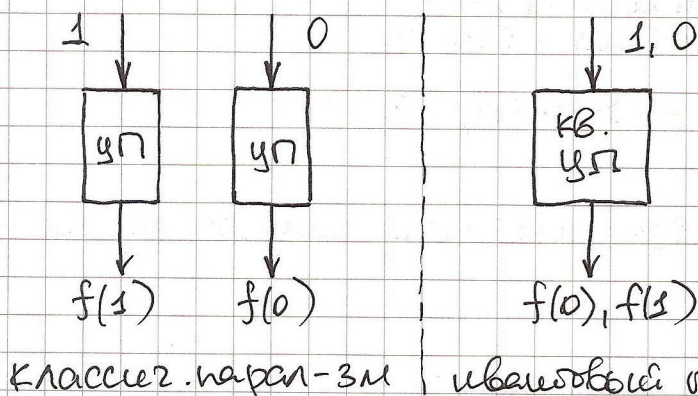


+ это - предварительное
единство.

Схема иерархового мира пользователя, изображающей
происходящее плавное под управление:



Квадратичный направлением



Классический паралл-зм | иерархический паралл-зм

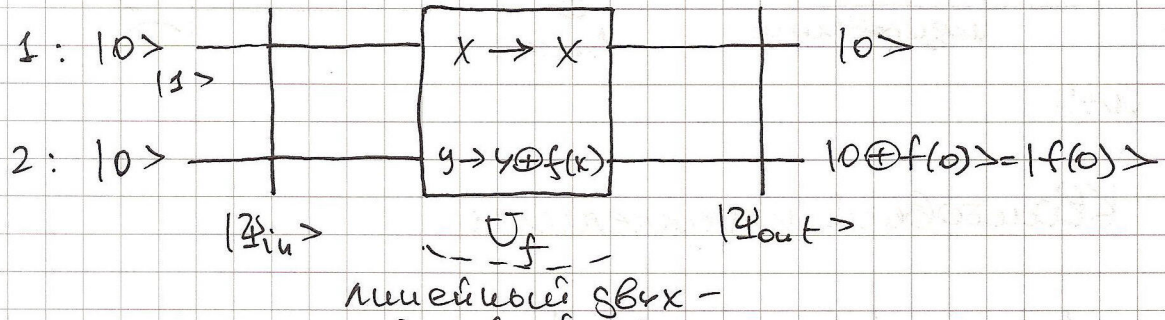
- 1-ый кубик = пересечение двух ячеек (здесь запись сопряжения опр-т φ -функции) [обобщен. на n кубиков]
- 2-ой кубик = целевой пересеч (здесь запись сопряжения бл-к φ -функции) [пересеч состоит из 1 пересеч.]

Обозн. $|x, y\rangle \equiv$ выходное состояние

Пусть есть логический вентиль, преобразующий $|x, y\rangle$ в $|x, y \oplus f(x)\rangle$, где f - заданная функция, зв-е которой можно выразить

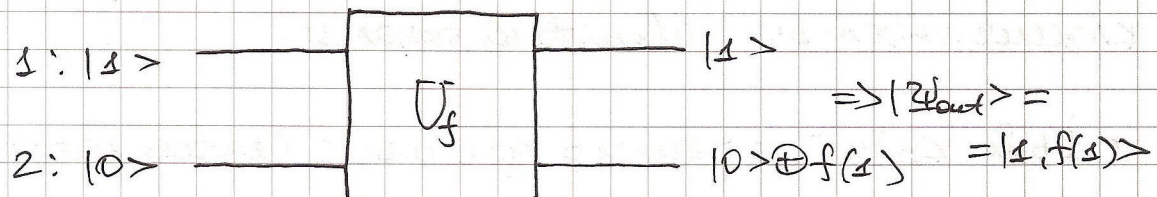
$$x = 0, 1, f = 0, 1.$$

Нарисовано схема, кот. формально описывает преобразование:

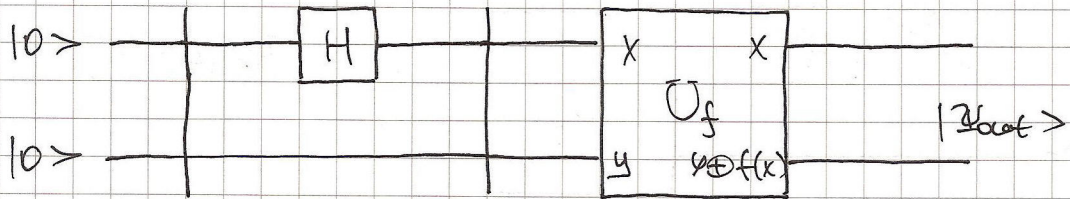


$$|y_{out}\rangle = |0\rangle \otimes |f(0)\rangle = |0, f(0)\rangle$$

Еще в качестве \$z\$ можно подать единицу для \$y\$:



Вывод: когда на вход подаете баз. состояния: 00 или 10, то такой процессор работает, как классический.



$$|\psi_0> = |00>$$

$$|\psi_1> = \frac{|0> + |1>}{\sqrt{2}} \otimes |0> = \frac{|00> + |10>}{\sqrt{2}}$$

$$|00> \xrightarrow{U_f} |0, f(0)>$$

$$|10> \xrightarrow{U_f} |1, f(1)>$$

$$|\psi_{out}> = \frac{1}{\sqrt{2}} (|0, f(0)> + |1, f(1)>)$$

$$\frac{1}{2} \rightarrow |0, f(0)>$$

$$\frac{1}{2} \rightarrow |1, f(1)>$$

информационные переносы, как
большое умножение измерений

Перенос данных:

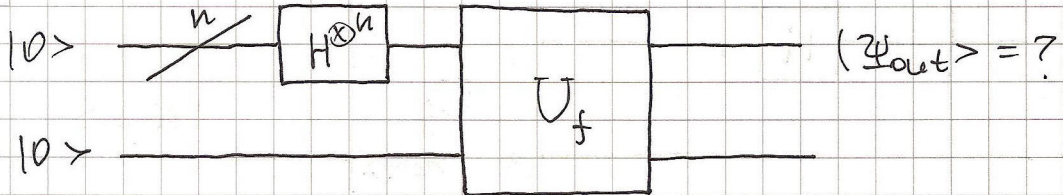


$$\underbrace{|0> \quad |0> \quad |0> \quad |0>}_{n \text{ кубиков}}$$

$$|0> \quad \cancel{\quad} \quad - \text{1-ой ренес}$$

$$|0> \quad \underline{\quad} \quad - \text{2-ой человеческий ренес}$$

$$|\psi_0> = \underbrace{(|0, 0, \dots, 0>)}_{n \text{ кубиков}} \otimes |0>$$



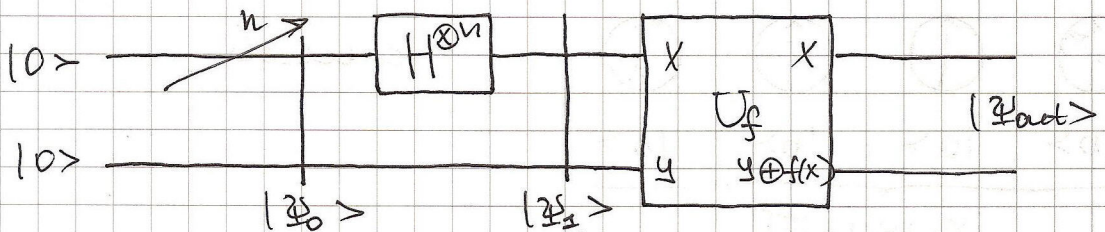
$$\begin{aligned}
 H^{\otimes n} &= \underbrace{(H \otimes H \otimes \dots \otimes H)}_n (|0\rangle \otimes |0\rangle \otimes \dots \otimes |0\rangle) = \\
 &= \left(\frac{(1+0)}{\sqrt{2}} \otimes \frac{(1+0)}{\sqrt{2}} \otimes \dots \otimes \frac{(1+0)}{\sqrt{2}} \right) \otimes |0\rangle = \\
 &= \frac{1}{\sqrt{2^n}} \left(\underbrace{|00\dots 0\rangle}_n + \dots + \underbrace{|11\dots 1\rangle}_n \right) \otimes |0\rangle
 \end{aligned}$$

$$|x\rangle = |x_0^0, x_1^1, \dots, x_{n-1}^n\rangle$$

$$x = x_{n-1} 2^{n-1} + x_{n-2} 2^{n-2} + \dots + x_0 2^0$$

$$0 \leq x \leq 2^n - 1$$

$$|\Psi_1\rangle = \frac{1}{\sqrt{2^n}} \sum_{x=0}^{2^n-1} |x\rangle \otimes |0\rangle = \frac{1}{\sqrt{2^n}} \sum_{x=0}^{2^n-1} |x, 0\rangle$$



$$\begin{aligned}
 |\Psi_{out}\rangle &= U_f |\Psi_1\rangle = \frac{1}{\sqrt{2^n}} \sum_{x=0}^{2^n-1} (|x, 0\rangle \oplus |f(x)\rangle) = \\
 &= \frac{1}{\sqrt{2^n}} \sum_{x=0}^{2^n-1} (|x, f(x)\rangle) \Rightarrow \text{за 1 гелдиге } 2^n-1 \text{ сүйкілі }
 \end{aligned}$$

Дұрыссе зағарағынан көлемдерінде:

- Зағараға қамбиджандағы більшілек көлем →

> Квадратное FFT [алгоритм Шора]

- Задача квадратного искажения в базах данных.
- Моделирование квадратных систем на квадратных компьютерах.

Исторически, первым был алгоритм, наз.

Большой реал- ω задача якоби. споменуте на квадратных компьютерах = алгоритм Дюра.

Задача Дюра: Алиса & Боб обміняються:

$$\begin{array}{ccc} A & & B \\ & \xrightarrow{\quad f(x) \quad} & \\ x & \xleftarrow{\quad \circ \quad} & \end{array}$$

• 1. Двоє зважають:

1) посідання змінної:

$$f(x) = \begin{cases} 0, & \text{якщо всіх } x, \\ 1, & \text{якщо всіх } x. \end{cases}$$

2) обмін підтвердженням: $f(x) = \begin{cases} 0, & \text{якщо пообмін} \\ 1, & \text{якщо } \frac{x}{\text{підтвердження}} \end{cases}$

Боб буде діяти тим згідно! посідаємо
чи обмін підтвердженням. Алиса отримає
звіль, який ти будеш Боб.

Вопрос: сколько необходимо передать
корреспондентам?

на reducer.com-pe

$$\left(\frac{2^n}{2} + 1 \right)$$

на reducers.com-pe

$$\left(\underbrace{\text{за } \frac{1}{2} \text{ операції}}_{\text{передачі}} \right)$$

25. 04. 07. - newgue N

$\chi 2^n$ yucen

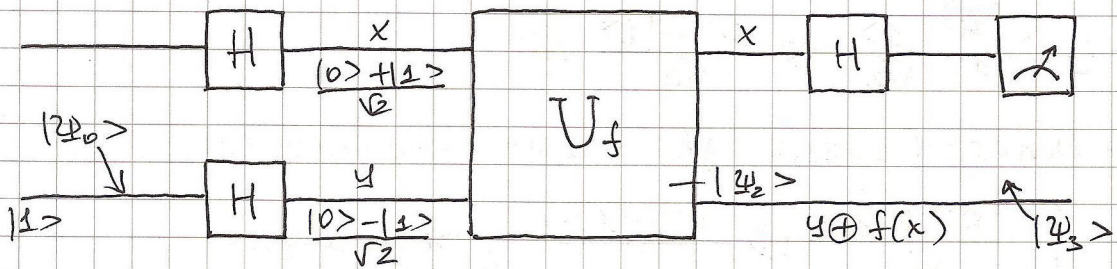
$$f(x) = \begin{cases} \text{перемножение } f(x) = [0 \ 1] + x, \\ \text{сумм. } f(x) = 0, f(x) = 1. \end{cases}$$

Anica Bob

$$x \rightarrow f(x).$$

Anica gommaa onfugeneob den qyceuseur.

$$\frac{2^n}{2} + 1 \text{ year. } n = 1, 2, 0, 1.$$



$$f_1(0) = 0, f_1(1) = 0 ; \quad U_{f_1} = \hat{I} \otimes \hat{I}$$

$$f_2(0) = 1, f_2(1) = 1 ; \quad U_{f_2} = \hat{I} \otimes \text{NOT}$$

Если $f_3(x)$ - нефюл iun ссонааас. q-уил, то
тогоди тене coosб-эг $U_{f_3} = \text{CNOT}$. На засете
дигес преворачено то проверено.

Паси. конкретний варіант:

$$f_4(x) = \text{NOT } X ; \quad U_{f_4} = \text{CNOT} \cdot \hat{I} \otimes \text{NOT}$$

$$|\Psi_0\rangle = |01\rangle$$

$$|\Psi_1\rangle = \frac{|0\rangle + |1\rangle}{\sqrt{2}} \otimes \frac{|0\rangle - |1\rangle}{\sqrt{2}}$$

Есть удобное выражение:

$$U_f [|x\rangle \otimes \frac{|0\rangle - |1\rangle}{\sqrt{2}}] = (-1)^{f(x)} |x\rangle \otimes \frac{|0\rangle - |1\rangle}{\sqrt{2}} -$$

- на первом уровне сохранение \otimes -ра.

Что-то есть:

$$\begin{aligned} U_f |\psi_1\rangle &= U_f (|x\rangle \otimes \frac{|0\rangle - |1\rangle}{\sqrt{2}}) = (-1)^{f(x)} |x\rangle \otimes \frac{|0\rangle - |1\rangle}{\sqrt{2}} = \\ &= (-1)^{f(x)} \frac{|0\rangle + |1\rangle}{\sqrt{2}} \otimes \frac{|0\rangle - |1\rangle}{\sqrt{2}} = (-1)^{\frac{f(x)}{2}} \frac{|0\rangle}{\sqrt{2}} \otimes \frac{|0\rangle - |1\rangle}{\sqrt{2}} + \\ &+ (-1)^{\frac{f(x)}{2}} \frac{|1\rangle}{\sqrt{2}} \otimes \frac{|0\rangle - |1\rangle}{\sqrt{2}} \quad \Rightarrow \end{aligned}$$

Так образуется две рабочие суперпозиции

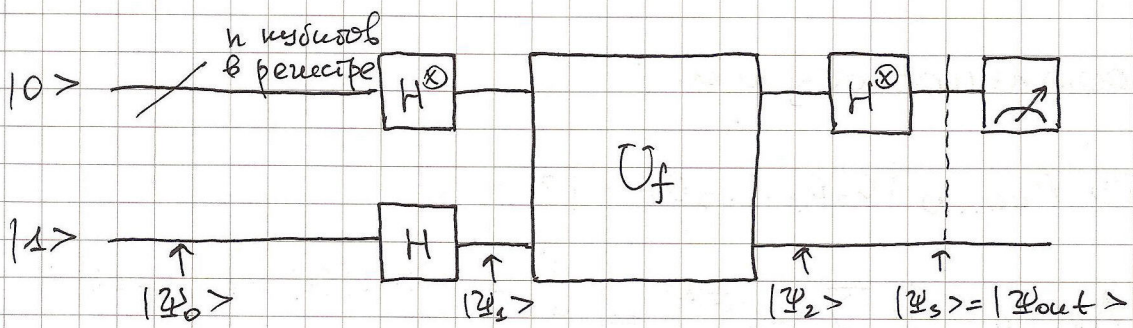
$$\begin{aligned} \Rightarrow & \left\{ \begin{array}{l} \frac{|0\rangle + |1\rangle}{\sqrt{2}} \otimes \frac{|0\rangle - |1\rangle}{\sqrt{2}}, \text{ первый.} \\ \frac{|0\rangle - |1\rangle}{\sqrt{2}} \otimes \frac{|0\rangle - |1\rangle}{\sqrt{2}}, \text{ второй.} \end{array} \right. \end{aligned}$$

$$|\psi_3\rangle = \left\{ \begin{array}{l} |0\rangle \otimes \frac{|0\rangle - |1\rangle}{\sqrt{2}}, \\ |1\rangle \otimes \frac{|0\rangle - |1\rangle}{\sqrt{2}}. \end{array} \right.$$

$|0\rangle$; f -неч. \otimes -а; $|1\rangle$, f -соч. \otimes -а.

Квантовый компьютер, решавший задачу
Джона для n кубов: \rightarrow

[Этот алгоритм РЕАЛИЗОВАН на прототипе
квантового компьютера]



Как это об. алгоритмом пер. загадки Дорса
за одно измерение?

$$|Psi_0\rangle |0\rangle^{(n)} \otimes |1\rangle$$

↑
проверяе в состояни

После выполнения Аланара: $|Psi_1\rangle = \frac{1}{\sqrt{2^n}} \sum_{x=0}^{2^n-1} |x\rangle \otimes \frac{|0\rangle - |1\rangle}{\sqrt{2}}$

$$\langle \Psi_1 | \Psi_1 \rangle = 1.$$

$$H^{\otimes n} |x\rangle = ? , \text{ где } |x\rangle = |\overset{\circ}{x}_0, \overset{\circ}{x}_1, \dots, \overset{\circ}{x}_{n-1}\rangle$$

Формализация этого замечания, чтобы не заняться:

$$H|x_i\rangle = \sum_{z_i=0,1} (-1)^{x_i z_i} \frac{|z_i\rangle}{\sqrt{2}};$$

$$|\Psi_3\rangle = H^{\otimes n} |\Psi_2\rangle = \sum_{x=0}^{2^n-1} \frac{H^{\otimes n}(-1)^{f(x)} |x\rangle}{\sqrt{2^n}} \otimes \frac{|0\rangle - |1\rangle}{\sqrt{2}} =$$

$$= \frac{1}{2^n} \sum_{\substack{\uparrow \\ x_0, x_1, \dots, x_{n-1}}} (-1)^{f(x) + x_0 z_0 + x_1 z_1 + \dots + x_{n-1} z_{n-1}} |z_0, z_1, \dots, z_{n-1}\rangle \otimes \frac{|0\rangle - |1\rangle}{\sqrt{2}} \quad \Theta$$

Наше ищущее борьбющее состояние $|\Psi_3\rangle = |\Psi_{out}\rangle$

Так. что же это оп-то за одно измерение.

Было нужно б ноль состояния $|00\dots 0\rangle$, а все \Rightarrow

оссновное ограждение:

$$\textcircled{2} \quad A_{00\ldots 0} |0, 0, \dots, 0\rangle + |\Psi\rangle ;$$

$$A_{00\ldots 0} = \frac{1}{2^n} \sum_{\substack{x \\ 0 \dots 2^n - 1}} (-1)^{f(x)} = \begin{cases} 1, & \lim f(x) = 0, \text{ мод.} \\ -1, & \lim f(x) = 1, \text{ одн.} \end{cases}$$

$|\Psi\rangle$ — генерация = 0, т.к. происходит констру-
сия фаз.

$$\langle \Psi_3, \Psi_3 \rangle = 1$$

$$\langle 00\ldots 0 | 00\ldots 0 \rangle = 1.$$

$$\Rightarrow B \text{ имеет вид: } |\Psi_3\rangle = |\Psi_{out}\rangle = \\ = A_{00\ldots 0} |00\ldots 0\rangle \sqrt{2}$$

$\Rightarrow B$ имеет сбалансир.!

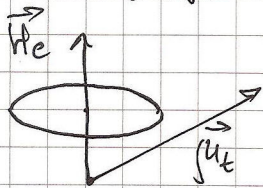
$$A_{000} = 0, \lim f(x) + \text{одн.}$$

т.к. если при изменении параметра все
члены \Rightarrow Бод биоран посоставимо физично;
если хотя бы один \neq 0 \Rightarrow сбалансир.

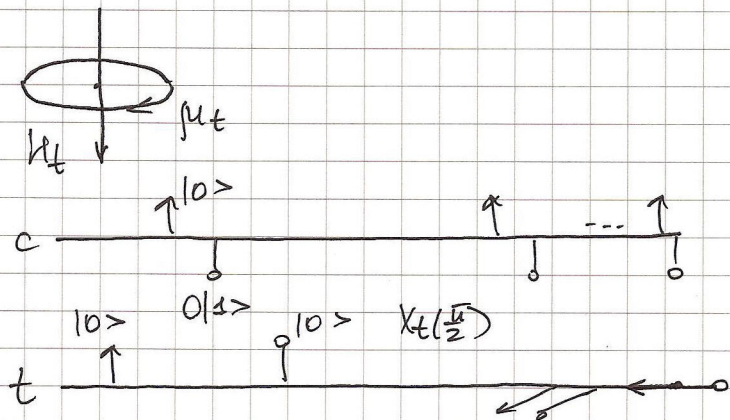
Важнейшее применение фаз симметрии
используется в ал-ре Шора, квантовом
преобразовании Фурье.

Двухсоставные операции:

$$H = -\vec{\mu}_e \cdot \vec{\mu}_t$$



$$H = \gamma \hat{z}_c \hat{z}_t$$



$$x_t(0) \longrightarrow$$

$$\begin{array}{c} z_t(-\frac{\pi}{2}) \\ \hline \end{array}$$

A horizontal axis representing time. A vertical double-headed arrow labeled $y_t(-\frac{\pi}{2})$ is positioned above the axis at a negative time value.